

České vysoké učení technické v Praze
Fakulta stavební
Katedra speciální geodézie



Bakalářská práce

Jonáš Kačerovský

Sledování posunů při rekonstrukci havarované budovy

Vedoucí práce: doc. Ing. Jaromír Procházka, CSc.

Studijní program: Geodézie a kartografie

Studijní obor: Geodézie, kartografie a geoinformatika

Praha 2021

ZADÁNÍ BAKALÁŘSKÉ PRÁCE

I. OSOBNÍ A STUDIJNÍ ÚDAJE

Příjmení: Kačerovský Jméno: Jonáš Osobní číslo: 477073
Zadávající katedra: Katedra speciální geodézie
Studijní program: Geodézie a kartografie
Studijní obor: Geodézie,kartografie a geoinforamtika

II. ÚDAJE K BAKALÁŘSKÉ PRÁCI

Název bakalářské práce: Sledování posunů při rekonstrukci havarované budovy

Název bakalářské práce anglicky: Monitoring of deformations during the reconstruction of a crashed building

Pokyny pro vypracování:

- 1) Uveďte důvody a cíle řešené problematiky, včetně navrženého harmonogramu měření.
- 2) Popište metody použité pro sledování posunů, včetně volby a osazení vztažných a pozorovaných bodů a použitých přístrojů.
- 3) Vyhodnoťte vypočtené posuny, vzhledem k jejich požadované a dosažené přesnosti.
- 4) Stanovte chování sledovaných stěn havarovaného objektu během zajišťovacích a bouracích prací.

Seznam doporučené literatury:

1/ HAMPACHER, M., ŠTRONER,M.: Zpracování a analýza měření v inženýrské geodézii. Vyd. 1. V Praze: České vysoké učení technické, 2011. ISBN 978-80-01-04900-6

2/ NOVÁK, Z., PROCHÁZKA, J.: Inženýrská geodézie 10. Vyd. 2. Praha: Vydavatelství ČVUT, 2001, 181 s.
ISBN 80-010-2407-5

Jméno vedoucího bakalářské práce: doc. Ing. Jaromír Procházka, CSc.

Datum zadání bakalářské práce: 15.2.2021 Termín odevzdání bakalářské práce: 16.5.2021
Údaj uvedte v souladu s datem v časovém plánu příslušného ak. roku

Podpis vedoucího práce

Podpis vedoucího katedry

III. PŘEVZETÍ ZADÁNÍ

Beru na vědomí, že jsem povinen vypracovat bakalářskou práci samostatně, bez cizí pomoci, s výjimkou poskytnutých konzultací. Seznam použité literatury, jiných pramenů a jmen konzultantů je nutné uvést v bakalářské práci a při citování postupovat v souladu s metodickou příručkou ČVUT „Jak psát vysokoškolské závěrečné práce“ a metodickým pokynem ČVUT „O dodržování etických principů při přípravě vysokoškolských závěrečných prací“.

Datum převzetí zadání

Podpis studenta(ky)

Anotace

Tato bakalářská práce pojednává o metodice měření svislých a prostorových posunů při rekonstrukci havarované budovy. V práci jsou probrány jednotlivé metody, použitá technika, volba a osazení vztažných a pozorovaných bodů. Dále jsou v práci vyhodnoceny vypočtené posuny, které jsou interpretovány grafy, ve kterých se zobrazují pohyby bodů v závislosti na etapách. Výsledkem práce je stanovení chování sledovaných stěn v havarovaném objektu.

Klíčová slova

Svislé posuny, prostorové posuny, přesná nivelační sledování posunů

Anotation

This bachelor thesis deals with the methodology of measuring vertical and spatial displacements in the reconstruction of a crashed building. The work discusses the various methods, technique used, selection and assignment of reference and observed points. Furthermore, the work evaluates the calculated shifts, which are interpreted by graphs, in which the movements of points depending on the stages are displayed. The result of the work is to determine the behavior of the monitored walls in the crashed building.

Key words

Vertical displacements, spatial displacements, precise leveling, displacement monitoring

Prohlášení

Prohlašuji, že bakalářskou práci na téma *Sledování posunů při rekonstrukci havarované budovy* jsem vypracoval samostatně. Použitou literaturu a podkladové materiály uvádím v seznamu zdrojů.

V Praze dne

Jonáš Kačerovský

Poděkování

Chtěl bych velice poděkovat vedoucímu této práce doc. Ing. Jaromíru Procházkovi, CSc. za odbornou pomoc, poskytnuté rady ohledně práce a za věcné přípomínky, které tuto práci posunuly správným směrem. Dále bych rád poděkoval rodině a v neposlední řadě bych rád poděkoval firmě CCE Praha, díky které jsem se dostal možnost podílet se na této zakázce.

Obsah

| | | |
|----------|---|-----------|
| 1 | Úvod | 8 |
| 2 | Lokalita | 9 |
| 2.1 | Historie budovy | 9 |
| 2.2 | Důvod monitoringu stavby | 10 |
| 3 | Projekt sledování posunů | 11 |
| 3.1 | Měření svislých posunů a přetvoření | 11 |
| 3.1.1 | Metoda měření | 11 |
| 3.1.2 | Volba a osazení vztažných a pozorovaných bodů pro sledování svislých posunů | 14 |
| 3.1.3 | Použité přístroje a pomůcky | 16 |
| 3.2 | Měření prostorových posunů a přetvoření | 16 |
| 4 | Vyhodnocení svislých posunů | 17 |
| 4.1 | Svislé posuny objektů v Mikulandské ulici | 17 |
| 4.2 | Svislé posuny vnitřních prostor havarované budovy | 27 |
| 4.3 | Svislé posuny garáží | 35 |
| 5 | Závěr | 40 |
| | Seznam obrázků | 41 |
| | Seznam tabulek | 42 |
| | Použitá literatura | 43 |

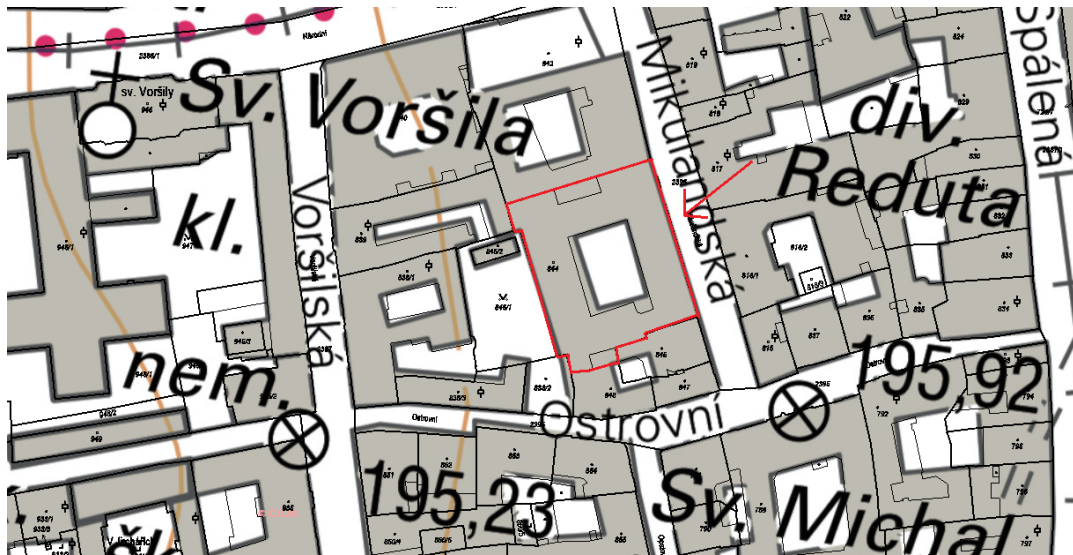
Úvod

Po havárii objektu základní školy v Praze 1, v ulici Mikulanská č.5, ke které došlo během rekonstrukčních prací, za účelem zajištění technologického a dílenského zázemí pro Vysokou školu uměleckoprůmyslovou (VŠ UMPRUM) v červenci 2018, byla geodetická firma CCE Praha pověřena zpracováním projektu na realizaci monitoringu havarované budovy během zabezpečovacích a bouracích prací, dle požadavků daných objednavateli. Jako brigadník, vykonavající u jmenované firmy odbornou praxi, jsem se zúčastnil měření posunů a přetvoření výše uvedené budovy. Geodetické práce, obvykle na této stavbě, vyžadují vysokou přesnost výsledků, jejich správné a rychlé vyhodnocení, jakož i odpovědnost za jejich interpretaci stavebním odborníkům pro zajištění bezpečnosti, mne velmi zaujaly a vedly k volbě tématu mé bakalářské práce.

Cílem mé bakalářské práce je popsat a zhodnotit metody použité pro monitoring posunů a přetvoření jednotlivých sledovaných částí budovy, včetně použitých přístrojů, volby vztažných a pozorovaných bodů, vyhodnocení vypočtených posunů vzhledem k očekávané přesnosti výsledků a stanovení chování jednotlivých částí hodnocené budovy, vzhledem k základní a předchozí etapě měření.

Lokalita

Sledovaná budova se nachází na katastrálním území Nové město v centru Prahy v ulici Mikulandská. Na obrázku je znázorněna oblast rekonstruované budovy viz Obrázek 1.



Obrázek 1: Lokalita oblasti [1]

2.1 Historie budovy

Na místě dnešní stavby stála již od 19. století Německá státní reálná škola, která v Praze patřila mezi jedny z nejstarších škol. Na této škole vyučoval slavný český spisovatel Jan Neruda a jeho žákem byl další slavný český spisovatel Jakub Arbes. Školní budova, která dnes na daném území stojí, byla zrekonstruována podle plánů Václava Nekvasila (plány navrhované budovy jsou z roku 1892). Z původní zástavby z roku 1852 zde bylo ponecháno jížní a západní dvorní křídlo.

Na základě požadavků výzkumného ústavu pedagogického se v první polovině 20. století do budovy přemístila část ze státní pedagogické knihovny Komenského. Díky přesunu části knihovny do budovy zde byly provedeny jedny z prvních větších stavebních zásahů na budově a to v roce 1949, podle plánů Václava Vondráška. Dále zde byly roku 1956 realizovány změny na budově v podobě vystužení stropů v zadním dvorním křídle objektu. Celá čtyřkřídlá budova je vystavěna kolem obdélného dvora. V letech 1991-1992 byly provedeny další úpravy změn dispozic pro nově vzniklou základní školu (Brána jazyků), dle nového projektu od Jana Kerela a Zdeňka Hölzera. Poté se až do doby

rekonstrukce z roku 2018 v budově nachazela základní škola a dílny pro výšší uměleckou školu. Pedagogická knihovna v budově setrvala do roku 2016. [2]

2.2 Důvod monitoringu stavby

Rekonstrukce budovy byla započata v polovině roku 2018 za účelem uskutečnění rozsáhlých změn na stávající budově, ve které se nacházela základní škola, a to pro zajištění technologického a dílenského zázemí pro Vysokou školu uměleckoprůmyslovou (VŠ UMPRUM).

Z důvodu předejití případnému poškození okolních budov, v důsledku rekonstrukce, bylo odpovědným projektantem stanoveno sledování svislých posunů a přetvoření objektů sousedících s rekonstruovanou budovou VŠ UMPRUM, realizované firmou Geodrill.

Dne 17.7.2018 došlo k havárii budovy, při které se propadly dvoje stropní podlaží domu společně s dělníky. Havárie v budově narušila statiku celého objektu, a proto po vyproštění osob z budovy byl objekt zastabilizován, aby se předešlo dalším deformacím budovy.

Po havárii rekonstruované budovy bylo původní měření rozšířeno o sledování svislých a prostorových posunů, přetvoření a sledování náklonů obvodových stěn havarované budovy. Geodetickými činnostmi byla pověřena firma CCE Praha.

Projekt sledování posunů

Pro sledování posunů a přetvoření havarované budovy bylo nutno vypracovat projekt, jehož obsahem je kromě jiného stanovení kritické hodnoty posunů statikem, odtud vyplývající požadované přesnosti geodetických měření, volba vhodných metod měření, volba bodů vztažné sítě a bodů pozorovaných, včetně způsobu jejich osazení a harmonogram měření, včetně způsobu zpracování, hodnocení a předávání výsledků odpovědnému statikovi.

Na základě požadavků statika na sledování svislých a vodorovných posunů obvodových stěn havarované budovy a jejich náklonů byly zvoleny vhodné metody pro jejich průkazné zaměření. Pro měření svislých posunů v úrovni terénu byla zvolena metoda přesné nivelačce, pro sledování vodorovných posunů a náklonů stěn prostorová polární metoda v kombinaci s metodou volných stacionářek. Pro nezávislé a průběžné měření náklonů stěn bylo využito inklinometrů.

Při stabilizování objektu těsně po havárii byly dle požadavků statika, a za spolupráce s hasiči, osazeny pozorované body z obou stran budovy tak, aby bylo možné z obou stran monitorovat, jak vodorovné, tak i svislé posuny budovy. V počátečních etapách, těsně po havárii, byla budova monitorována nepřetržitě. Po prokázaném zklidnění budovy sledování probíhalo minimálně jednou až dvakrát týdně. Poté byl monitoring budovy realizován podle potřeb stavby s ohledem na zajištění bezpečnosti při probíhajících sanačních a brouvacích prací.

3.1 Měření svislých posunů a přetvoření

3.1.1 Metoda měření

Metoda přesné nivelačce byla zvolena pro měření svislých posunů v úrovni terénu. Vzhledem k tomu, že zajišťuje požadovanou přesnost výsledků, nepřesahující 1,5 mm, je přizpůsobivá aktuální situaci na stavbě, není příliš časově náročná a používá běžně dostupné přístrojové techniky, tak i dalšího vybavení (více v kap. 3.1.3). Na začátku bylo zapotřebí do digitálního nivelačního přístroje zavést opravu z nevodorovnosti záměrné přímky. Přístroj potom dále s opravou počítal automaticky. Poté byla oprava vždy určována jednou za měsíc.

Přesnost metody je charakterizována hodnotou mezního rozdílu:

$$\Delta M \leq (1,5 - 2,25) * \sqrt{R} \quad [3]$$

Nivelační pořady vychází z nivelačních bodů č. 100, 101 a 102, které jsou stabilizovány čepovými značkami na stabilních historických budovách v ulici

Mikulandslá č.118 a 119. V zápisníku je uveden ještě bod č. 99, který nebyl nikdy využit z důvodu brzského zničení těžkou technikou (nacházel se na rohu ulice křížící ulici Národní). Tyto body jsou uvažovány jako vztazné body, lokální výškové sítě, vytvořené pro sledování svislých posunů rekonstruované budovy. Výchozím bodem o zvolené výšce 100,000 m je bod č. 100 a další výše uvedené body sloužily k ověření stability výchozího bodu.

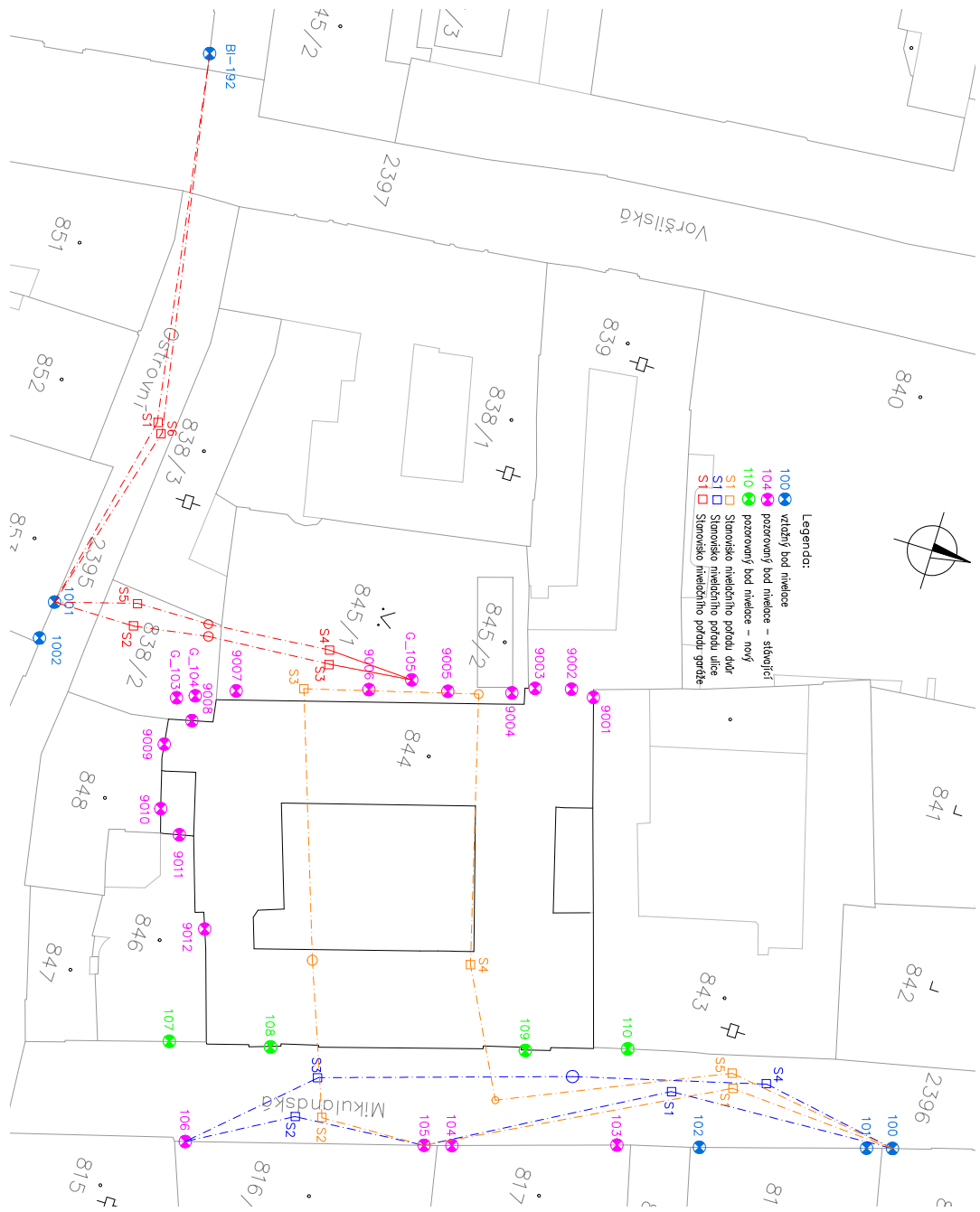
V přehledce (Obrázek 2) jsou barevně znázorněny a odděleny nivelační pořady, které sloužily pro sledování pozorovaných bodů. Jednalo se o 3 pořady, z nichž každý sledoval jinou část stavby. Tyto nivelační pořady procházely celou stavbou a sledovaly její pohyby.

První pořad, který je ve schématu znázorněný oranžovou barvou, prochází vnitřkem celé stavby a na obrázku je tvar nivelačního pořadu pouze obecný. Skutečný tvar pořadu bylo nutno především v počátečních etapách přizpůsobovat aktuálním možnostem postavení přístroje a latí na stavbě. Zkreslený tvar pořadu byl užíván až ke konci celé stavby, kdy se situace na stavbě ustálila. Tento pořad vychází ze vztazného bodu č. 100, a přes další vztaný bod 102 a zahrnuje pozorované body č. 9001, 9002, 9003, 9004, 9005, 9006, 9007, 9008, 9009, 9010, 9011, 9012, 9013. Tento pořad vychází z bodu č. 100 a jedná se o nivelační pořad uzavřený.

Druhý pořad, znázorněný v přehledce modrou barvou, byl vedený v prostorách ulice před stavbou, po celou dobu takřka neměnný, a to díky minimálnímu zásahu stavby do ulice. Pořad zahrnuje vztazné body č. 100, 101, 102 a pozorované body č. 103, 104, 105, 106, 107, 108, 109, 110. Tento pořad vychází z bodu č. 100 a jedná se o nivelační pořad uzavřený.

Jako třetí pořad, znázorněný červenou barvou, byl pořad vedený podzemními garážemi, který zahrnoval 3 pozorované body č. G_103, G_104, G_105 v podzemních garážích a 2 kontrolní body č. 1001, 1002, které jsou osazeny před vstupem do garáží. Tento pořad vychází z bodu č. Bl-192 a jednalo se o nivelační pořad uzavřený.

Kroužkem jsou v pořadu znázorněny přestavy, při kterých byla použita nivelační podložka a čtverečkem je označeno postavení přístroje.



Obrázek 2: Schéma nivelačních pořadů

Pozorované body jsou zapojeny do nivelačního pořadu dvěma způsoby. Prvním způsobem byly zaměřeny určované body jako přestavové a jejich výška je určena průměrem z měření tam a zpět. V druhém případě jsou určeny bočními záměrami. Zde bylo zapotřebí body měřit ze dvou postavení přístroje a jejich výslednou

hodnotu určit jako průměr z dvojího zaměření.

Z bezpečnostních důvodů bylo, společně s rekonstrukcí předmětné budovy, zahájeno sledování stability okolních objektů a to prostřednictvím měření svislých posunů pozorovaných bodů č. 103-106 vztažených k bodu č.100. V roce 2019 byla tato měření doplněna o další 4 sledované body, které byly osazeny přímo na fasádě sledované budovy (z ulice Mikulandská) a to s č. 107-110. Tyto body byly nejprve sledovány firmou Geodrill, ale od 60. etapy sledování převzala firma CCE, která po havárii budovy během rekonstrukce převzala geodetická měření a v oblasti sledování svislých posunů návazala na výsledky výše uvedených měření. V listopadu 2018 bylo zahájeno měření svislých posunů na pozorovaných bodech č. 9001 až 9013 osazených na obvodových stěnách uvnitř budovy.

3.1.2 Volba a osazení vztažných a pozorovaných bodů pro sledování svislých posunů

Jak bylo uvedeno již v úvodu 3. kapitoly, je nezbytnou součástí projektu sledování posunů a přetvoření, návrh umístění a osazení bodů vztažné sítě a na základě kompromisu mezi požadavky statika a možnostmi geodeta i volba bodů pozorovaných. V našem případě bylo nejprve stanoveno sledování svislých posunů a přetvoření objektů sousedících s rekonstruovanou budovou VŠ UM-PRUM, z důvodu předejití jejich případnému poškození v důsledku zmíněné rekonstrukce. K tomuto účelu byly zvoleny a osazeny čepovými značkami (Obrázek 3) vztažné body č. 100, 101 a 102 na historických budovách v začátku Mikulandské ulice, z nichž bod č.100 byl vybrán jako výchozí, další body pak jako ověřovací. U těchto bodů bylo vycházeno z oprávněného předpokladu, že budou během rekonstrukce stabilní. Jako pozorované body byly zvoleny a stejným způsobem osazeny pozorované body č. 103 až č. 106, osazené na budovách, nacházejících se přímo naproti rekonstruované budově.



(a) Nivelační značka



(b) Nivelační značka



(c) Nastřelovací hřeb

Obrázek 3: Stabilizace nivelačních značek

Po havárii rekonstruované budovy bylo původní měření rozšířeno o sledování svislých posunů a přetvoření havarované budovy.

K tomuto účelu byly osazeny další body č. 107 až 110, a to na čelní stěně havarované budovy (Obrázek 2) a zapojeny do druhého nivelačního pořadu.

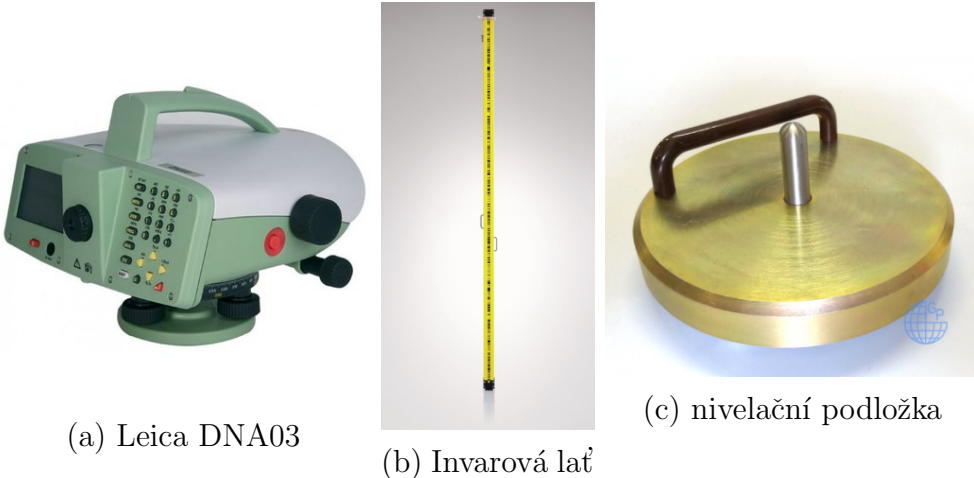
Další pozorované body (č.9001 až č. 9013) pro měření svislých posunů byly stabilizovány rovněž čepovými nivelačními značkami (Obrázek 3) ve vnitřních prostorách havarované budovy a jejich změny sledovány zapojením do nivelačního pořadu č.1 (Obrázek 3). Pro sledování svislých posunů podzemních garáží byly pozorované body č. 9004 až 9007 osazeny nastřelovacími hřebi (Obrázek 3c) a roxorem na vrcholu garáží a zapojeny do nivelačního pořadu č.1 (Obrázek 3).

Jako poslední pozorované body, které sloužily pro sledování posunů uvnitř podzemních garáží, byly body č. G_103, G_104, G_105 osazeny ve vnitřních prostorách podzemní garáže, body byly osazeny rovněž čepovými nivelačními značkami (Obrázek 3).

3.1.3 Použité přístroje a pomůcky

Pro měření svislých posunů byl použit nivelační přístroj Leica DNA03 (Obrázek 4a) společně s 3 m invarovými latěmi a nivelační podložkou (Obrázky 4b a 4c).

Nivelační přístroj *Leica DNA03* má dle výrobce [4] střední kilometrovou chybu při měření na invarovou latě **0,3 mm**. Dalekohled v přístroji má zvětšení 24x.



Obrázek 4: Nivelační přístroj+pomůcky [5]

3.2 Měření prostorových posunů a přetvoření

Pro požadované sledování prostorových změn a náklonu obvodových stěn budovy z vnitřních prostor (ze dvora) byla zvolena prostorová polární metoda. Vzhledem k současně probíhajícím stavebním činnostem a neustále se měnícím podmínkám ve vnitřních prostorách, nebylo možné realizovat měření z trvale stabilizovaného stanoviska. Proto bylo zvoleno zaměření prostorovou polární metodou, v kombinaci s metodou volného stanoviska. K využití této metody bylo nutno nejprve osadit síť vztažných a pozorovaných bodů, zaměřením vodorovných směrů, délek a zenitových úhlů určit jejich prostorové souřadnice v lokální souřadnicové soustavě.

Vzhledem k požadavku měřit prostorové posuny a náklon fasády jak z vnější (ulice Mikulandská), tak z vnitřní strany (dvůr), probíhalo měření na 2 místech nezávisle. Měření náklonu bylo ještě doplněno průběžným sledováním změn pomocí inklinometrů, osazených na vnější i vnitřní stěně havarované budovy a ověřované dalšími inklinometry, osazenými na okolních budovách.

Měření a vyhodnocení prostorových posunů, přetvoření a náklonů je již nad rámec obsahu této bakalářské práce a může být obsahem případně navazující práce diplomové.

Vyhodnocení svislých posunů

Jak bylo uvedeno již dříve, byly pro sledování svislých posunů vnější stěny havarované budovy z ulice Mikulandské, pro sledování svislých posunů vnitřních prostor, kde se propadly stropy a pro sledování svislých posunů podzemních garáží, zřízeny 3 nezávislé uzavřené nivelační pořady, měřené tam a zpět a vedené podél pozorovaných bodů, osazených v místech, kde to bylo požadováno statikem (Obrázek 2).

4.1 Svislé posuny objektů v Mikulandské ulici

Původním účelem prvního pořadu, založeného ještě před havárií rekonstruované budovy VŠ UMPRUM, bylo zajištění bezpečnosti okolních domů v Mikulandské ulici proti případným účinkům poměrně rozsáhlých stavebních úprav na tyto domy. Proto byly na těchto domech osazeny speciální čepové nivelační značky, sloužící jako pozorované body pro sledování svislých posunů během rekonstrukce. Jednalo se o body č.103 až 106, jejichž výšky v lokální výškové soustavě byly vztaženy k obdobně stabilizovaným vztažným bodům č.100 (výchozí bod, jehož výška byla zvolena 100,000 m), č.101 a 102 (ověřovací body, pro kontrolu stability výchozího bodu). Konfigurace uvedených bodů a průběh nivelačního pořadu k jejich zaměření jsou znázorněny v (Obrázek 2).

Zhruba s patnáctiměsíčním odstupem bylo sledování svislých posunů rozšířeno o další 4 pozorované body, osazené na fasádě budovy (z ulice Mikulandská), jejichž účelem bylo průběžně sledovat chování uliční stěny rekonstruované budovy během zajišťovacích stavebních prací (Obrázek 2).

Výsledné výšky pozorovaných bodů a jejich změny (svislé posuny), během zaměření 107 etap od 8.6.2018 do 21.8.2020 jsou vypočteny v programu LEICA Geo Office, uvedeny v následující tabulce č.1 a zobrazeny v grafu (Obrázek 5).

Výsledky sledování výškových kontrolních bodů - ulice Mikulandská (převzato po Geodrill)

Tabulka svislých posunů sledovaných bodů vzhledem k nulté a předcházející etapě

| č.bodu | 103 | 104 | 105 | 106 |
|--|---------|---------|---------|---------|
| H _{e0} [m] 8.6.2018 | 99,8942 | 99,7355 | 99,7328 | 99,6501 |
| H _{e1} [m] 25.6.2018 | 99,8941 | 99,7353 | 99,7322 | 99,6503 |
| H _{e1} - H _{e0} [mm] | -0,1 | -0,2 | -0,6 | 0,2 |
| H _{e2} [m] 9.7.2018 | 99,8942 | 99,7354 | 99,7326 | 99,6504 |
| H _{e2} - H _{e1} [mm] | 0,1 | 0,1 | 0,4 | 0,1 |
| H _{e2} - H _{e0} [mm] | 0,0 | -0,1 | -0,2 | 0,3 |
| H _{e3} [m] 20.7.2018 | 99,8940 | 99,7352 | 99,7322 | 99,6503 |
| H _{e3} - H _{e2} [mm] | -0,2 | -0,2 | -0,4 | -0,1 |
| H _{e3} - H _{e0} [mm] | -0,2 | -0,3 | -0,6 | 0,2 |
| H _{e4} [m] 2.8.2018 | 99,8940 | 99,7349 | 99,7319 | 99,6501 |
| H _{e4} - H _{e3} [mm] | 0,0 | -0,3 | -0,3 | -0,2 |
| H _{e4} - H _{e0} [mm] | -0,2 | -0,6 | -0,9 | 0,0 |
| H _{e5} [m] 10.8.2018 | 99,8939 | 99,7349 | 99,7321 | 99,6500 |
| H _{e5} - H _{e4} [mm] | -0,1 | 0,0 | 0,2 | -0,1 |
| H _{e5} - H _{e0} [mm] | -0,3 | -0,6 | -0,7 | -0,1 |
| H _{e6} [m] 16.8.2018 | 99,8941 | 99,7350 | 99,7317 | 99,6501 |
| H _{e6} - H _{e5} [mm] | 0,2 | 0,1 | -0,4 | 0,1 |
| H _{e6} - H _{e0} [mm] | -0,1 | -0,5 | -1,1 | 0,0 |
| H _{e7} [m] 22.8.2018 | 99,8941 | 99,7352 | 99,7324 | 99,6504 |
| H _{e7} - H _{e6} [mm] | 0,0 | 0,2 | 0,7 | 0,3 |
| H _{e7} - H _{e0} [mm] | -0,1 | -0,3 | -0,4 | 0,3 |
| H _{e8} [m] 29.8.2018 | 99,8941 | 99,7350 | 99,7323 | 99,6503 |
| H _{e8} - H _{e7} [mm] | 0,0 | -0,2 | -0,1 | -0,1 |
| H _{e8} - H _{e0} [mm] | -0,1 | -0,5 | -0,5 | 0,2 |
| H _{e9} [m] 6.9.2018 | 99,8941 | 99,7350 | 99,7318 | 99,6502 |
| H _{e9} - H _{e8} [mm] | 0,0 | 0,0 | -0,5 | -0,1 |
| H _{e9} - H _{e0} [mm] | -0,1 | -0,5 | -1,0 | 0,1 |
| H _{e10} [m] 13.9.2018 | 99,8940 | 99,7348 | 99,7322 | 99,6500 |
| H _{e10} - H _{e9} [mm] | -0,1 | -0,2 | 0,4 | -0,2 |
| H _{e10} - H _{e0} [mm] | -0,2 | -0,7 | -0,6 | -0,1 |
| H _{e11} [m] 20.9.2018 | 99,8940 | 99,7349 | 99,7323 | 99,6501 |
| H _{e11} - H _{e10} [mm] | 0,0 | 0,1 | 0,1 | 0,1 |
| H _{e11} - H _{e0} [mm] | -0,2 | -0,6 | -0,5 | 0,0 |
| H _{e12} [m] 27.9.2018 | 99,8940 | 99,7348 | 99,7317 | 99,6499 |
| H _{e12} - H _{e11} [mm] | 0,0 | -0,1 | -0,6 | -0,2 |
| H _{e12} - H _{e0} [mm] | -0,2 | -0,7 | -1,1 | -0,2 |
| H _{e13} [m] 4.10.2018 | 99,8940 | 99,7349 | 99,7316 | 99,6500 |
| H _{e13} - H _{e12} [mm] | 0,0 | 0,1 | -0,1 | 0,1 |
| H _{e13} - H _{e0} [mm] | -0,2 | -0,6 | -1,2 | -0,1 |
| H _{e14} [m] 12.10.2018 | 99,8941 | 99,7350 | 99,7317 | 99,6501 |
| H _{e14} - H _{e13} [mm] | 0,1 | 0,1 | 0,1 | 0,1 |
| H _{e14} - H _{e0} [mm] | -0,1 | -0,5 | -1,1 | 0,0 |
| H _{e15} [m] 18.10.2018 | 99,8941 | 99,7350 | 99,7318 | 99,6499 |
| H _{e15} - H _{e14} [mm] | 0,0 | 0,0 | 0,1 | -0,2 |
| H _{e15} - H _{e0} [mm] | -0,1 | -0,5 | -1,0 | -0,2 |

Výšky ověřovacích bodů

| č.bodu: | H _{e0} [m] |
|---------|---------------------|
| 99 | 99,9980 |
| 100 | 100,0000 |
| 101 | 99,9712 |
| 102 | 99,9295 |

| | | | | | |
|----------------------|-----------------------|---------|---------|---------|---------|
| H _{e16} [m] | 25.10.2018 | 99,8941 | 99,7352 | 99,7320 | 99,6500 |
| H _{e16-} | H _{e15} [mm] | 0,0 | 0,2 | 0,2 | 0,1 |
| H _{e16-} | H _{e0} [mm] | -0,1 | -0,3 | -0,8 | -0,1 |
| H _{e17} [m] | 1.11.2018 | 99,8941 | 99,7351 | 99,7318 | 99,6502 |
| H _{e17-} | H _{e16} [mm] | 0,0 | -0,1 | -0,2 | 0,2 |
| H _{e17-} | H _{e0} [mm] | -0,1 | -0,4 | -1,0 | 0,1 |
| H _{e18} [m] | 8.11.2018 | 99,8941 | 99,7351 | 99,7319 | 99,6502 |
| H _{e18-} | H _{e17} [mm] | 0,0 | 0,0 | 0,1 | 0,0 |
| H _{e18-} | H _{e0} [mm] | -0,1 | -0,4 | -0,9 | 0,1 |
| H _{e19} [m] | 23.11.2018 | 99,8943 | 99,7355 | 99,7323 | 99,6491 |
| H _{e19-} | H _{e18} [mm] | 0,2 | 0,4 | 0,4 | -1,1 |
| H _{e19-} | H _{e0} [mm] | 0,1 | 0,0 | -0,5 | -1,0 |
| H _{e20} [m] | 30.11.2018 | 99,8946 | 99,7356 | 99,7327 | 99,6509 |
| H _{e20-} | H _{e19} [mm] | 0,3 | 0,1 | 0,4 | 1,8 |
| H _{e20-} | H _{e0} [mm] | 0,4 | 0,1 | -0,1 | 0,8 |
| H _{e21} [m] | 3.12.2018 | 99,8942 | 99,7352 | 99,7320 | 99,6502 |
| H _{e21-} | H _{e20} [mm] | -0,4 | -0,4 | -0,7 | -0,7 |
| H _{e21-} | H _{e0} [mm] | 0,0 | -0,3 | -0,8 | 0,1 |
| H _{e22} [m] | 14.12.2018 | 99,8939 | 99,7355 | 99,7330 | 99,6509 |
| H _{e22-} | H _{e21} [mm] | -0,3 | 0,3 | 1,0 | 0,7 |
| H _{e22-} | H _{e0} [mm] | -0,3 | 0,0 | 0,2 | 0,8 |
| H _{e23} [m] | 20.12.2018 | 99,8940 | 99,7356 | 99,7324 | 99,6510 |
| H _{e23-} | H _{e22} [mm] | 0,1 | 0,1 | -0,6 | 0,1 |
| H _{e23-} | H _{e0} [mm] | -0,2 | 0,1 | -0,4 | 0,9 |
| H _{e24} [m] | 3.1.2019 | 99,8946 | 99,7353 | 99,7328 | 99,6502 |
| H _{e24-} | H _{e23} [mm] | 0,6 | -0,3 | 0,4 | -0,8 |
| H _{e24-} | H _{e0} [mm] | 0,4 | -0,2 | 0,0 | 0,1 |
| H _{e25} [m] | 9.1.2019 | 99,8942 | 99,7351 | 99,7319 | 99,6498 |
| H _{e25-} | H _{e24} [mm] | -0,4 | -0,2 | -0,9 | -0,4 |
| H _{e25-} | H _{e0} [mm] | 0,0 | -0,4 | -0,9 | -0,3 |
| H _{e26} [m] | 18.1.2019 | 99,8941 | 99,7352 | 99,7326 | 99,6501 |
| H _{e26-} | H _{e25} [mm] | -0,1 | 0,1 | 0,7 | 0,3 |
| H _{e26-} | H _{e0} [mm] | -0,1 | -0,3 | -0,2 | 0,0 |
| H _{e27} [m] | 27.1.2019 | 99,8941 | 99,7351 | 99,7325 | 99,6503 |
| H _{e27-} | H _{e26} [mm] | 0,0 | -0,1 | -0,1 | 0,2 |
| H _{e27-} | H _{e0} [mm] | -0,1 | -0,4 | -0,3 | 0,2 |
| H _{e28} [m] | 1.2.2019 | 99,8945 | 99,7353 | 99,7322 | 99,6500 |
| H _{e28-} | H _{e27} [mm] | 0,4 | 0,2 | -0,3 | -0,3 |
| H _{e28-} | H _{e0} [mm] | 0,3 | -0,2 | -0,6 | -0,1 |
| H _{e29} [m] | 8.2.2019 | 99,8948 | 99,7360 | 99,7328 | 99,6510 |
| H _{e29-} | H _{e28} [mm] | 0,3 | 0,7 | 0,6 | 1,0 |
| H _{e29-} | H _{e0} [mm] | 0,6 | 0,5 | 0,0 | 0,9 |
| H _{e30} [m] | 15.2.2019 | 99,8943 | 99,7356 | 99,7324 | 99,6504 |
| H _{e30-} | H _{e29} [mm] | -0,5 | -0,4 | -0,4 | -0,6 |
| H _{e30-} | H _{e0} [mm] | 0,1 | 0,1 | -0,4 | 0,3 |
| H _{e31} [m] | 20.2.2019 | 99,8944 | 99,7353 | 99,7321 | 99,6501 |
| H _{e31-} | H _{e30} [mm] | 0,1 | -0,3 | -0,3 | -0,3 |
| H _{e31-} | H _{e0} [mm] | 0,2 | -0,2 | -0,7 | 0,0 |
| H _{e32} [m] | 25.2.2019 | 99,8940 | 99,7355 | 99,7327 | 99,6512 |
| H _{e32-} | H _{e31} [mm] | -0,4 | 0,2 | 0,6 | 1,1 |
| H _{e32-} | H _{e0} [mm] | -0,2 | 0,0 | -0,1 | 1,1 |
| H _{e33} [m] | 8.3.,2019 | 99,8939 | 99,7354 | 99,7322 | 99,6508 |
| H _{e33-} | H _{e32} [mm] | -0,1 | -0,1 | -0,5 | -0,4 |
| H _{e33-} | H _{e0} [mm] | -0,3 | -0,1 | -0,6 | 0,7 |

| | | | | | |
|----------------------|-----------------------|---------|---------|---------|---------|
| H _{e34} [m] | 15.3.2019 | 99,8939 | 99,7355 | 99,7324 | 99,6513 |
| H _{e34-} | H _{e33} [mm] | 0,0 | 0,1 | 0,2 | 0,5 |
| H _{e34-} | H _{e0} [mm] | -0,3 | 0,0 | -0,4 | 1,2 |
| H _{e35} [m] | 22.3.2019 | 99,8942 | 99,7357 | 99,7326 | 99,6510 |
| H _{e35-} | H _{e34} [mm] | 0,3 | 0,2 | 0,2 | -0,3 |
| H _{e35-} | H _{e0} [mm] | 0,0 | 0,2 | -0,2 | 0,9 |
| H _{e36} [m] | 28.3.2019 | 99,8940 | 99,7354 | 99,7322 | 99,6511 |
| H _{e36-} | H _{e35} [mm] | -0,2 | -0,3 | -0,4 | 0,1 |
| H _{e36-} | H _{e0} [mm] | -0,2 | -0,1 | -0,6 | 1,0 |
| H _{e37} [m] | 5.4.2019 | 99,8942 | 99,7357 | 99,7325 | 99,6510 |
| H _{e37-} | H _{e36} [mm] | 0,2 | 0,3 | 0,3 | -0,1 |
| H _{e37-} | H _{e0} [mm] | 0,0 | 0,2 | -0,3 | 0,9 |
| H _{e38} [m] | 12.4.2019 | 99,8947 | 99,7359 | 99,7326 | 99,6507 |
| H _{e38-} | H _{e37} [mm] | 0,5 | 0,2 | 0,1 | -0,3 |
| H _{e38-} | H _{e0} [mm] | 0,5 | 0,4 | -0,2 | 0,6 |
| H _{e39} [m] | 15.4.2019 | 99,8942 | 99,7356 | 99,7325 | 99,6511 |
| H _{e39-} | H _{e38} [mm] | -0,5 | -0,3 | -0,1 | 0,4 |
| H _{e39-} | H _{e0} [mm] | 0,0 | 0,1 | -0,3 | 1,0 |
| H _{e40} [m] | 26.4.2019 | 99,8943 | 99,7360 | 99,7328 | 99,6515 |
| H _{e40-} | H _{e39} [mm] | 0,1 | 0,4 | 0,3 | 0,4 |
| H _{e40-} | H _{e0} [mm] | 0,1 | 0,5 | 0,0 | 1,4 |
| H _{e41} [m] | 3.5.2019 | 99,8944 | 99,7356 | 99,7325 | 99,6509 |
| H _{e41-} | H _{e40} [mm] | 0,1 | -0,4 | -0,3 | -0,6 |
| H _{e41-} | H _{e0} [mm] | 0,2 | 0,1 | -0,3 | 0,8 |
| H _{e42} [m] | 6.5.2019 | 99,8944 | 99,7357 | 99,7324 | 99,6508 |
| H _{e42-} | H _{e41} [mm] | 0,0 | 0,1 | -0,1 | -0,1 |
| H _{e42-} | H _{e0} [mm] | 0,2 | 0,2 | -0,4 | 0,7 |
| H _{e43} [m] | 13.5.2019 | 99,8943 | 99,7354 | 99,7321 | 99,6506 |
| H _{e43-} | H _{e42} [mm] | -0,1 | -0,3 | -0,3 | -0,2 |
| H _{e43-} | H _{e0} [mm] | 0,1 | -0,1 | -0,7 | 0,5 |
| H _{e44} [m] | 22.5.2019 | 99,8939 | 99,7360 | 99,7325 | 99,6512 |
| H _{e44-} | H _{e43} [mm] | -0,4 | 0,6 | 0,4 | 0,6 |
| H _{e44-} | H _{e0} [mm] | -0,3 | 0,5 | -0,3 | 1,1 |
| H _{e45} [m] | 28.5.2019 | 99,8944 | 99,7355 | 99,7322 | 99,6505 |
| H _{e45-} | H _{e44} [mm] | 0,5 | -0,5 | -0,3 | -0,7 |
| H _{e45-} | H _{e0} [mm] | 0,2 | 0,0 | -0,6 | 0,4 |
| H _{e46} [m] | 4.6.2019 | 99,8948 | 99,7355 | 99,7323 | 99,6512 |
| H _{e46-} | H _{e45} [mm] | 0,4 | 0,0 | 0,1 | 0,7 |
| H _{e46-} | H _{e0} [mm] | 0,6 | 0,0 | -0,5 | 1,1 |
| H _{e47} [m] | 14.6.2019 | 99,8945 | 99,7356 | 99,7323 | 99,6510 |
| H _{e47-} | H _{e46} [mm] | -0,3 | 0,1 | 0,0 | -0,2 |
| H _{e47-} | H _{e0} [mm] | 0,3 | 0,1 | -0,5 | 0,9 |
| H _{e48} [m] | 20.6.2019 | 99,8942 | 99,7358 | 99,7320 | 99,6506 |
| H _{e48-} | H _{e47} [mm] | -0,3 | 0,2 | -0,3 | -0,4 |
| H _{e48-} | H _{e0} [mm] | 0,0 | 0,3 | -0,8 | 0,5 |
| H _{e49} [m] | 26.6.2019 | 99,8940 | 99,7357 | 99,7322 | 99,6509 |
| H _{e49-} | H _{e48} [mm] | -0,2 | -0,1 | 0,2 | 0,3 |
| H _{e49-} | H _{e0} [mm] | -0,2 | 0,2 | -0,6 | 0,8 |

| | | | | | | | | |
|---|---------|---------|---------|---------|---------|---------|---------|---------|
| H _{e50} [m] 3.7.2019 | 99,8939 | 99,7358 | 99,7325 | 99,6517 | | | | |
| H _{e50} -H _{e49} [mm] | -0,1 | 0,1 | 0,3 | 0,8 | | | | |
| H _{e50} -H _{e0} [mm] | -0,3 | 0,3 | -0,3 | 1,6 | | | | |
| H _{e51} [m] 8.7.2019 | 99,8947 | 99,7356 | 99,7327 | 99,6497 | | | | |
| H _{e51} -H _{e50} [mm] | 0,8 | -0,2 | 0,2 | -2,0 | | | | |
| H _{e51} -H _{e0} [mm] | 0,5 | 0,1 | -0,1 | -0,4 | | | | |
| H _{e52} [m] 18.7.2019 | 99,8946 | 99,7353 | 99,7321 | 99,6505 | | | | |
| H _{e52} -H _{e51} [mm] | -0,1 | -0,3 | -0,6 | 0,8 | | | | |
| H _{e52} -H _{e0} [mm] | 0,4 | -0,2 | -0,7 | 0,4 | | | | |
| H _{e53} [m] 23.7.2019 | 99,8947 | 99,7353 | 99,7321 | 99,6506 | | | | |
| H _{e53} -H _{e52} [mm] | 0,1 | 0,0 | 0,0 | 0,1 | | | | |
| H _{e53} -H _{e0} [mm] | 0,5 | -0,2 | -0,7 | 0,5 | | | | |
| H _{e54} [m] 31.7.2019 | 99,8948 | 99,7353 | 99,7319 | 99,6501 | | | | |
| H _{e54} -H _{e53} [mm] | 0,1 | 0,0 | -0,2 | -0,5 | | | | |
| H _{e54} -H _{e0} [mm] | 0,6 | -0,2 | -0,9 | 0,0 | | | | |
| H _{e55} [m] 9.8.2019 | 99,8943 | 99,7351 | 99,7319 | 99,6502 | | | | |
| H _{e55} -H _{e54} [mm] | -0,5 | -0,2 | 0,0 | 0,1 | | | | |
| H _{e55} -H _{e0} [mm] | 0,1 | -0,4 | -0,9 | 0,1 | | | | |
| H _{e56} [m] 16.8.2019 | 99,8944 | 99,7354 | 99,7327 | 99,6505 | | | | |
| H _{e56} -H _{e55} [mm] | 0,1 | 0,3 | 0,8 | 0,3 | | | | |
| H _{e56} -H _{e0} [mm] | 0,2 | -0,1 | -0,1 | 0,4 | | | | |
| H _{e56} [m] 21.8.2019 | 99,8946 | 99,7354 | 99,7322 | 99,6504 | | | | |
| H _{e56} -H _{e55} [mm] | 0,2 | 0,0 | -0,5 | -0,1 | | | | |
| H _{e56} -H _{e0} [mm] | 0,4 | -0,1 | -0,6 | 0,3 | | | | |
| H _{e56} [m] 28.8.2019 | 99,8943 | 99,7352 | 99,7321 | 99,6505 | | | | |
| H _{e56} -H _{e55} [mm] | -0,3 | -0,2 | -0,1 | 0,1 | | | | |
| H _{e56} -H _{e0} [mm] | 0,1 | -0,3 | -0,7 | 0,4 | | | | |
| H _{e56} [m] 2.9.2019 | 99,8943 | 99,7352 | 99,7320 | 99,6502 | | | | |
| H _{e56} -H _{e55} [mm] | 0,0 | 0,0 | -0,1 | -0,3 | | | | |
| H _{e56} -H _{e0} [mm] | 0,1 | -0,3 | -0,8 | 0,1 | | | | |
| č.bodu | 103 | 104 | 105 | 106 | 107 | 108 | 109 | 110 |
| H _{e0} [m] 8.6.2018 + 9.9.2019 | 99,8942 | 99,7355 | 99,7328 | 99,6501 | 99,9858 | 99,8670 | 99,8407 | 99,9407 |
| č.bodu | 103 | 104 | 105 | 106 | 107 | 108 | 109 | 110 |
| H _{e60} [m] 9.9.2019 | 99,8943 | 99,7352 | 99,7327 | 99,6507 | 99,9858 | 99,8670 | 99,8407 | 99,9407 |
| H _{e60} -H _{e59} [mm] | 0,0 | 0,0 | 0,7 | 0,5 | | | | |
| H _{e60} -H _{e0} [mm] | 0,1 | -0,3 | -0,1 | 0,6 | 0,0 | 0,0 | 0,0 | 0,0 |
| H _{e61} [m] 13.9.2019 | 99,8948 | 99,7355 | 99,7323 | 99,6506 | 99,9856 | 99,8669 | 99,8405 | 99,9398 |
| H _{e61} -H _{e60} [mm] | 0,5 | 0,3 | -0,4 | -0,1 | -0,2 | -0,1 | -0,2 | -0,9 |
| H _{e61} -H _{e0} [mm] | 0,6 | 0,0 | -0,5 | 0,5 | -0,2 | -0,1 | -0,2 | -0,9 |
| H _{e62} [m] 17.9.2019 | 99,8943 | 99,7353 | 99,7324 | 99,6503 | 99,9852 | 99,8663 | 99,8400 | 99,9393 |
| H _{e62} -H _{e61} [mm] | -0,5 | -0,2 | 0,1 | -0,3 | -0,4 | -0,6 | -0,5 | -0,5 |
| H _{e62} -H _{e0} [mm] | 0,1 | -0,2 | -0,4 | 0,2 | -0,6 | -0,7 | -0,7 | -1,4 |
| H _{e63} [m] 27.9.2019 | 99,8945 | 99,7356 | 99,7323 | 99,6504 | 99,9860 | 99,8667 | 99,8402 | 99,9394 |
| H _{e63} -H _{e62} [mm] | 0,2 | 0,3 | -0,1 | 0,1 | 0,8 | 0,4 | 0,2 | 0,1 |
| H _{e63} -H _{e0} [mm] | 0,3 | 0,1 | -0,5 | 0,3 | 0,2 | -0,3 | -0,5 | -1,3 |
| H _{e64} [m] 4.10.2019 | 99,8945 | 99,7353 | 99,7323 | 99,6504 | 99,9861 | 99,8675 | 99,8403 | 99,9393 |
| H _{e64} -H _{e63} [mm] | 0,0 | -0,3 | 0,0 | 0,0 | 0,1 | 0,8 | 0,1 | -0,1 |
| H _{e64} -H _{e0} [mm] | 0,3 | -0,2 | -0,5 | 0,3 | 0,3 | 0,5 | -0,4 | -1,4 |

| | | | | | | | | |
|---|---------|---------|---------|---------|---------|---------|---------|---------|
| H _{e65} [m] 11.10.2019 | 99,8946 | 99,7358 | 99,7327 | 99,6509 | 99,9875 | 99,8695 | 99,8411 | 99,9401 |
| H _{e65} -H _{e64} [mm] | 0,1 | 0,5 | 0,4 | 0,5 | 1,4 | 2,0 | 0,8 | 0,8 |
| H _{e65} -H _{e0} [mm] | 0,4 | 0,3 | -0,1 | 0,8 | 1,7 | 2,5 | 0,4 | -0,6 |
| H _{e66} [m] 18.10.2019 | 99,8945 | 99,7356 | 99,7328 | 99,6511 | 99,9878 | 99,8698 | 99,8409 | 99,9395 |
| H _{e66} -H _{e65} [mm] | -0,1 | -0,2 | 0,1 | 0,2 | 0,3 | 0,3 | -0,2 | -0,6 |
| H _{e66} -H _{e0} [mm] | 0,3 | 0,1 | 0,0 | 1,0 | 2,0 | 2,8 | 0,2 | -1,2 |
| H _{e67} [m] 22.10.2019 | 99,8944 | 99,7357 | 99,7323 | 99,6506 | 99,9879 | 99,8700 | 99,8428 | 99,9424 |
| H _{e67} -H _{e66} [mm] | -0,1 | 0,1 | -0,5 | -0,5 | 0,1 | 0,2 | 1,9 | 2,9 |
| H _{e67} -H _{e0} [mm] | 0,2 | 0,2 | -0,5 | 0,5 | 2,1 | 3,0 | 2,1 | 1,7 |
| H _{e68} [m] 1.11.2019 | 99,8944 | 99,7359 | 99,7325 | 99,6510 | 99,9883 | 99,8704 | 99,8424 | 99,9429 |
| H _{e68} -H _{e67} [mm] | 0,0 | 0,2 | 0,2 | 0,4 | 0,4 | 0,4 | -0,4 | 0,5 |
| H _{e68} -H _{e0} [mm] | 0,2 | 0,4 | -0,3 | 0,9 | 2,5 | 3,4 | 1,7 | 2,2 |
| H _{e69} [m] 7.11.2019 | 99,8945 | 99,7358 | 99,7328 | 99,6510 | 99,9879 | 99,8700 | 99,8417 | 99,9419 |
| H _{e69} -H _{e68} [mm] | 0,1 | -0,1 | 0,3 | 0,0 | -0,4 | -0,4 | -0,7 | -1,0 |
| H _{e69} -H _{e0} [mm] | 0,3 | 0,3 | 0,0 | 0,9 | 2,1 | 3,0 | 1,0 | 1,2 |
| H _{e70} [m] 15.11.2019 | 99,8945 | 99,7357 | 99,7326 | 99,6508 | 99,9879 | 99,8698 | 99,8436 | 99,9430 |
| H _{e70} -H _{e69} [mm] | 0,0 | -0,1 | -0,2 | -0,2 | -0,1 | -0,2 | 1,9 | 1,1 |
| H _{e70} -H _{e0} [mm] | 0,3 | 0,2 | -0,2 | 0,7 | 2,0 | 2,8 | 2,9 | 2,3 |
| H _{e71} [m] 22.11.2019 | 99,8951 | 99,7360 | 99,7328 | 99,6509 | 99,9878 | 99,8702 | 99,8438 | 99,9432 |
| H _{e71} -H _{e70} [mm] | 0,6 | 0,3 | 0,2 | 0,1 | 0,0 | 0,3 | 0,2 | 0,2 |
| H _{e71} -H _{e0} [mm] | 0,9 | 0,5 | -0,1 | 0,8 | 2,0 | 3,2 | 3,1 | 2,5 |
| H _{e72} [m] 27.11.2019 | 99,8948 | 99,7358 | 99,7326 | 99,6509 | 99,9880 | 99,8701 | - | 99,9425 |
| H _{e72} -H _{e71} [mm] | -0,3 | -0,2 | -0,2 | 0,0 | 0,2 | -0,1 | - | -0,7 |
| H _{e72} -H _{e0} [mm] | 0,6 | 0,3 | -0,2 | 0,8 | 2,2 | 3,1 | - | 1,8 |
| H _{e73} [m] 6.12.2019 | 99,8945 | 99,7358 | 99,7326 | 99,6509 | 99,9876 | 99,8698 | 99,8445 | 99,9419 |
| H _{e73} -H _{e72} [mm] | -0,3 | 0,0 | 0,0 | 0,0 | -0,4 | -0,3 | 0,7 | -0,6 |
| H _{e73} -H _{e0} [mm] | 0,3 | 0,3 | -0,2 | 0,8 | 1,8 | 2,8 | 3,8 | 1,2 |
| H _{e74} [m] 11.12.2019 | 99,8942 | 99,7361 | 99,7333 | 99,6512 | 99,9886 | 99,8709 | 99,8445 | 99,9437 |
| H _{e74} -H _{e73} [mm] | -0,3 | 0,3 | 0,7 | 0,3 | 1,0 | 1,1 | 0,0 | 1,8 |
| H _{e74} -H _{e0} [mm] | 0,0 | 0,6 | 0,5 | 1,1 | 2,8 | 3,9 | 3,8 | 3,0 |
| H _{e75} [m] 17.12.2019 | 99,8945 | 99,7359 | 99,7327 | 99,6509 | 99,9886 | 99,8709 | 99,8443 | 99,9441 |
| H _{e75} -H _{e74} [mm] | 0,3 | -0,2 | -0,6 | -0,3 | 0,0 | 0,0 | -0,2 | 0,4 |
| H _{e75} -H _{e0} [mm] | 0,3 | 0,4 | -0,1 | 0,8 | 2,8 | 3,9 | 3,6 | 3,4 |
| H _{e76} [m] 8.1.2020 | 99,8945 | 99,7361 | 99,7329 | 99,6512 | 99,9887 | 99,8711 | 99,8442 | 99,9438 |
| H _{e76} -H _{e75} [mm] | 0,0 | 0,2 | 0,2 | 0,3 | 0,1 | 0,2 | -0,1 | -0,3 |
| H _{e76} -H _{e0} [mm] | 0,3 | 0,6 | 0,1 | 1,1 | 2,9 | 4,1 | 3,5 | 3,1 |
| H _{e77} [m] 15.1.2020 | 99,8945 | 99,7356 | 99,7325 | 99,6510 | 99,9886 | 99,8711 | 99,8441 | 99,9439 |
| H _{e77} -H _{e76} [mm] | 0,0 | -0,4 | -0,4 | -0,2 | -0,1 | 0,0 | -0,1 | 0,1 |
| H _{e77} -H _{e0} [mm] | 0,3 | 0,1 | -0,3 | 0,9 | 2,8 | 4,1 | 3,4 | 3,2 |
| H _{e78} [m] 22.1.2020 | 99,8946 | 99,7357 | 99,7331 | 99,6512 | 99,9884 | 99,8710 | 99,8442 | 99,9434 |
| H _{e78} -H _{e77} [mm] | 0,2 | 0,0 | 0,6 | 0,2 | -0,2 | -0,1 | 0,1 | -0,5 |
| H _{e78} -H _{e0} [mm] | 0,4 | 0,2 | 0,3 | 1,1 | 2,6 | 4,0 | 3,5 | 2,7 |
| H _{e79} [m] 30.1.2020 | 99,8944 | 99,7357 | 99,7326 | 99,6511 | 99,9882 | 99,8708 | 99,8431 | 99,9430 |
| H _{e79} -H _{e78} [mm] | -0,3 | 0,1 | -0,5 | -0,1 | -0,1 | -0,2 | -1,1 | -0,4 |
| H _{e79} -H _{e0} [mm] | 0,2 | 0,2 | -0,2 | 1,0 | 2,4 | 3,8 | 2,4 | 2,3 |
| H _{e80} [m] 4.2.2020 | 99,8946 | 99,7357 | 99,7331 | 99,6510 | 99,9882 | 99,8709 | 99,8445 | 99,9435 |
| H _{e80} -H _{e79} [mm] | 0,2 | 0,0 | 0,5 | -0,2 | 0,0 | 0,1 | 1,4 | 0,5 |
| H _{e80} -H _{e0} [mm] | 0,4 | 0,2 | 0,3 | 0,9 | 2,4 | 3,9 | 3,8 | 2,8 |
| H _{e81} [m] 14.2.2020 | 99,8945 | 99,7357 | 99,7330 | 99,6511 | 99,9883 | 99,8710 | 99,8443 | 99,9434 |
| H _{e81} -H _{e80} [mm] | -0,1 | 0,0 | -0,1 | 0,1 | 0,1 | 0,1 | -0,2 | -0,1 |
| H _{e81} -H _{e0} [mm] | 0,3 | 0,2 | 0,2 | 1,0 | 2,5 | 4,0 | 3,6 | 2,7 |

| | | | | | | | | | |
|---|-----------|----------|---------|----------|---------|---------|---------|---------|---------|
| H _{e82} [m] | 18.2.2020 | 99,8942 | 99,7358 | 99,7330 | 99,6510 | 99,9881 | 99,8708 | 99,8442 | 99,9433 |
| H _{e82} -H _{e81} [mm] | | -0,3 | 0,1 | 0,0 | -0,1 | -0,2 | -0,2 | -0,1 | -0,1 |
| H _{e82} -H _{e0} [mm] | | 0,0 | 0,3 | 0,2 | 0,9 | 2,3 | 3,8 | 3,5 | 2,6 |
| H _{e83} [m] | 26.2.2020 | 99,8944 | 99,7357 | 99,7331 | 99,6510 | 99,9883 | 99,8709 | 99,8443 | 99,9435 |
| H _{e83} -H _{e82} [mm] | | 0,2 | -0,1 | 0,1 | 0,0 | 0,2 | 0,1 | 0,1 | 0,2 |
| H _{e83} -H _{e0} [mm] | | 0,2 | 0,2 | 0,3 | 0,9 | 2,5 | 3,9 | 3,6 | 2,8 |
| H _{e84} [m] | 6.3.2020 | 99,8946 | 99,7359 | 99,7327 | 99,6512 | 99,9885 | 99,8700 | 99,8451 | 99,9439 |
| H _{e84} -H _{e83} [mm] | | 0,2 | 0,2 | -0,4 | 0,2 | 0,2 | -0,9 | 0,8 | 0,4 |
| H _{e84} -H _{e0} [mm] | | 0,4 | 0,4 | -0,1 | 1,1 | 2,7 | 3,0 | 4,4 | 3,2 |
| H _{e85} [m] | 11.3.2020 | 99,8948 | 99,7357 | 99,7324 | 99,6514 | 99,9886 | 99,8702 | 99,8453 | 99,9440 |
| H _{e85} -H _{e84} [mm] | | 0,2 | -0,2 | -0,3 | 0,2 | 0,1 | 0,2 | 0,2 | 0,1 |
| H _{e85} -H _{e0} [mm] | | 0,6 | 0,2 | -0,4 | 1,3 | 2,8 | 3,2 | 4,6 | 3,3 |
| H _{e86} [m] | 19.3.2020 | 99,8944 | 99,7354 | 99,7322 | 99,6511 | 99,9882 | 99,8710 | 99,8452 | 99,9437 |
| H _{e86} -H _{e85} [mm] | | -0,3 | -0,3 | -0,2 | -0,3 | -0,4 | 0,8 | -0,1 | -0,3 |
| H _{e86} -H _{e0} [mm] | | 0,2 | -0,1 | -0,6 | 1,0 | 2,4 | 4,0 | 4,5 | 3,0 |
| H _{e87} [m] | 25.3.2020 | 99,8944 | 99,7356 | 99,73277 | 99,6510 | 99,9882 | 99,8708 | 99,8448 | 99,9436 |
| H _{e87} -H _{e86} [mm] | | 0,0 | 0,2 | 0,6 | -0,1 | 0,0 | -0,2 | -0,4 | -0,1 |
| H _{e87} -H _{e0} [mm] | | 0,2 | 0,1 | 0,0 | 0,9 | 2,4 | 3,8 | 4,1 | 2,9 |
| H _{e88} [m] | 30.3.2020 | 99,89459 | 99,7359 | 99,73309 | 99,6512 | 99,9883 | 99,8711 | 99,8448 | 99,9438 |
| H _{e88} -H _{e87} [mm] | | 0,2 | 0,3 | 0,3 | 0,2 | 0,1 | 0,3 | 0,0 | 0,2 |
| H _{e88} -H _{e0} [mm] | | 0,4 | 0,4 | 0,3 | 1,1 | 2,5 | 4,1 | 4,1 | 3,1 |
| H _{e89} [m] | 9.4.2020 | 99,8943 | 99,7359 | 99,7327 | 99,6511 | 99,9882 | 99,8711 | 99,8447 | 99,9431 |
| H _{e89} -H _{e88} [mm] | | -0,3 | 0,0 | -0,4 | -0,1 | -0,1 | 0,0 | -0,1 | -0,7 |
| H _{e89} -H _{e0} [mm] | | 0,1 | 0,4 | -0,1 | 1,0 | 2,4 | 4,1 | 4,0 | 2,4 |
| H _{e90} [m] | 16.4.2020 | 99,8946 | 99,7358 | 99,7327 | 99,6513 | 99,9884 | 99,8711 | 99,8453 | 99,9441 |
| H _{e90} -H _{e89} [mm] | | 0,3 | -0,1 | 0,0 | 0,2 | 0,2 | 0,0 | 0,6 | 1,0 |
| H _{e90} -H _{e0} [mm] | | 0,4 | 0,3 | -0,1 | 1,2 | 2,6 | 4,1 | 4,6 | 3,4 |
| H _{e91} [m] | 23.4.2020 | 99,8945 | 99,7359 | 99,7328 | 99,6512 | 99,9882 | 99,8711 | 99,8453 | 99,9431 |
| H _{e91} -H _{e90} [mm] | | -0,1 | 0,1 | 0,1 | -0,1 | -0,2 | 0,0 | 0,0 | -1,0 |
| H _{e91} -H _{e0} [mm] | | 0,3 | 0,4 | 0,0 | 1,1 | 2,4 | 4,1 | 4,6 | 2,4 |
| H _{e92} [m] | 28.4.2020 | 99,8948 | 99,7361 | 99,7329 | 99,6511 | 99,9886 | 99,8715 | 99,8452 | 99,9439 |
| H _{e92} -H _{e91} [mm] | | 0,3 | 0,2 | 0,1 | -0,1 | 0,4 | 0,4 | -0,1 | 0,8 |
| H _{e92} -H _{e0} [mm] | | 0,6 | 0,6 | 0,1 | 1,0 | 2,8 | 4,5 | 4,5 | 3,2 |
| H _{e93} [m] | 5.5.2020 | 99,8946 | 99,7360 | 99,7329 | 99,6512 | 99,9887 | 99,8716 | 99,8453 | 99,9440 |
| H _{e93} -H _{e92} [mm] | | -0,2 | -0,1 | 0,0 | 0,1 | 0,1 | 0,1 | 0,1 | 0,1 |
| H _{e93} -H _{e0} [mm] | | 0,4 | 0,5 | 0,1 | 1,1 | 2,9 | 4,6 | 4,6 | 3,3 |
| H _{e94} [m] | 12.5.2020 | 99,8944 | 99,7358 | 99,7326 | 99,6509 | 99,9882 | 99,8710 | 99,8449 | 99,9434 |
| H _{e94} -H _{e93} [mm] | | -0,2 | -0,2 | -0,3 | -0,3 | -0,5 | -0,6 | -0,4 | -0,6 |
| H _{e94} -H _{e0} [mm] | | 0,2 | 0,3 | -0,2 | 0,8 | 2,4 | 4,0 | 4,2 | 2,7 |
| H _{e95} [m] | 20.5.2020 | 99,8947 | 99,7361 | 99,7334 | 99,6511 | 99,9884 | 99,8712 | 99,8450 | 99,9440 |
| H _{e95} -H _{e94} [mm] | | 0,3 | 0,3 | 0,8 | 0,2 | 0,2 | 0,2 | 0,1 | 0,6 |
| H _{e95} -H _{e0} [mm] | | 0,5 | 0,6 | 0,6 | 1,0 | 2,6 | 4,2 | 4,3 | 3,3 |
| H _{e96} [m] | 26.5.2020 | 99,8948 | 99,7360 | 99,7334 | 99,6510 | 99,9884 | 99,8712 | 99,8449 | 99,9438 |
| H _{e96} -H _{e95} [mm] | | 0,1 | -0,1 | 0,0 | -0,1 | 0,0 | 0,0 | -0,1 | -0,2 |
| H _{e96} -H _{e0} [mm] | | 0,6 | 0,5 | 0,6 | 0,9 | 2,6 | 4,2 | 4,2 | 3,1 |

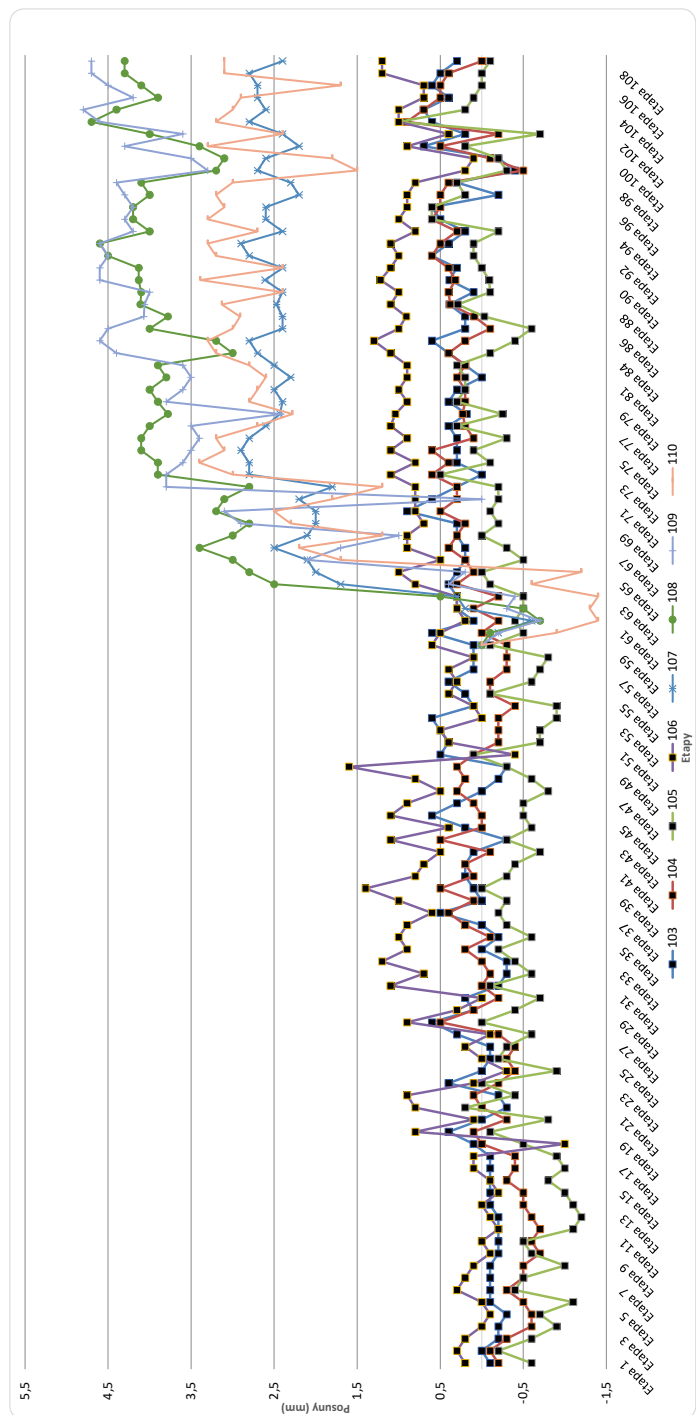
| | | | | | | | | |
|---|---------|---------|---------|---------|---------|---------|---------|---------|
| H _{e97} [m] 3.6.2020 | 99,8940 | 99,7360 | 99,7330 | 99,6510 | 99,9880 | 99,8710 | 99,8450 | 99,9439 |
| H _{e97} -H _{e96} [mm] | -0,8 | 0,0 | -0,4 | 0,0 | -0,4 | -0,2 | 0,1 | 0,1 |
| H _{e97} -H _{e0} [mm] | -0,2 | 0,5 | 0,2 | 0,9 | 2,2 | 4,0 | 4,3 | 3,2 |
| H _{e98} [m] 10.6.2020 | 99,8945 | 99,7359 | 99,7331 | 99,6509 | 99,9881 | 99,8711 | 99,8451 | 99,9437 |
| H _{e98} -H _{e97} [mm] | 0,5 | -0,1 | 0,1 | -0,1 | 0,1 | 0,1 | 0,1 | -0,2 |
| H _{e98} -H _{e0} [mm] | 0,3 | 0,4 | 0,3 | 0,8 | 2,3 | 4,1 | 4,4 | 3,0 |
| H _{e99} [m] 19.6.2020 | 99,8938 | 99,7350 | 99,7325 | 99,6503 | 99,9885 | 99,8702 | 99,8440 | 99,9422 |
| H _{e99} -H _{e98} [mm] | -0,7 | -0,9 | -0,6 | -0,6 | 0,4 | -0,9 | -1,1 | -1,5 |
| H _{e99} -H _{e0} [mm] | -0,4 | -0,5 | -0,3 | 0,2 | 2,7 | 3,2 | 3,3 | 1,5 |
| H _{e100} [m] 26.6.2020 | 99,8940 | 99,7354 | 99,7326 | 99,6502 | 99,9884 | 99,8701 | 99,8442 | 99,9425 |
| H _{e100} -H _{e99} [mm] | 0,2 | 0,4 | 0,1 | -0,1 | -0,1 | -0,1 | 0,2 | 0,3 |
| H _{e100} -H _{e0} [mm] | -0,2 | -0,1 | -0,2 | 0,1 | 2,6 | 3,1 | 3,5 | 1,8 |
| H _{e101} [m] 1.7.2020 | 99,8949 | 99,7360 | 99,7330 | 99,6510 | 99,9880 | 99,8704 | 99,8450 | 99,9440 |
| H _{e101} -H _{e100} [mm] | 0,9 | 0,6 | 0,4 | 0,8 | -0,4 | 0,3 | 0,8 | 1,5 |
| H _{e101} -H _{e0} [mm] | 0,7 | 0,5 | 0,2 | 0,9 | 2,2 | 3,4 | 4,3 | 3,3 |
| H _{e102} [m] 9.7.2020 | 99,8944 | 99,7353 | 99,7321 | 99,6505 | 99,9882 | 99,8710 | 99,8443 | 99,9431 |
| H _{e102} -H _{e101} [mm] | -0,5 | -0,7 | -0,9 | -0,5 | 0,2 | 0,6 | -0,7 | -0,9 |
| H _{e102} -H _{e0} [mm] | 0,2 | -0,2 | -0,7 | 0,4 | 2,4 | 4,0 | 3,6 | 2,4 |
| H _{e103} [m] 15.7.2020 | 99,8948 | 99,7364 | 99,7338 | 99,6511 | 99,9886 | 99,8717 | 99,8453 | 99,9439 |
| H _{e103} -H _{e102} [mm] | 0,4 | 1,1 | 1,7 | 0,6 | 0,4 | 0,7 | 1,0 | 0,8 |
| H _{e103} -H _{e0} [mm] | 0,6 | 0,9 | 1,0 | 1,0 | 2,8 | 4,7 | 4,6 | 3,2 |
| H _{e104} [m] 22.7.2020 | 99,8949 | 99,7362 | 99,7330 | 99,6511 | 99,9884 | 99,8714 | 99,8455 | 99,9437 |
| H _{e104} -H _{e103} [mm] | 0,1 | -0,2 | -0,8 | 0,0 | -0,2 | -0,3 | 0,2 | -0,2 |
| H _{e104} -H _{e0} [mm] | 0,7 | 0,7 | 0,2 | 1,0 | 2,6 | 4,4 | 4,8 | 3,0 |
| H _{e105} [m] 31.7.2020 | 99,8946 | 99,7360 | 99,7329 | 99,6508 | 99,9885 | 99,8709 | 99,8449 | 99,9436 |
| H _{e105} -H _{e104} [mm] | -0,3 | -0,2 | -0,1 | -0,3 | 0,1 | -0,5 | -0,6 | -0,1 |
| H _{e105} -H _{e0} [mm] | 0,4 | 0,5 | 0,1 | 0,7 | 2,7 | 3,9 | 4,2 | 2,9 |
| H _{e106} [m] 3.8.2020 | 99,8948 | 99,7360 | 99,7328 | 99,6508 | 99,9885 | 99,8711 | 99,8452 | 99,9424 |
| H _{e106} -H _{e105} [mm] | 0,2 | 0,0 | -0,1 | 0,0 | 0,0 | 0,2 | 0,3 | -1,2 |
| H _{e106} -H _{e0} [mm] | 0,6 | 0,5 | 0,0 | 0,7 | 2,7 | 4,1 | 4,5 | 1,7 |
| H _{e107} [m] 13.8.2020 | 99,8947 | 99,7359 | 99,7328 | 99,6513 | 99,9886 | 99,8713 | 99,8454 | 99,9438 |
| H _{e107} -H _{e106} [mm] | -0,1 | -0,1 | 0,0 | 0,5 | 0,1 | 0,2 | 0,2 | 1,4 |
| H _{e107} -H _{e0} [mm] | 0,5 | 0,4 | 0,0 | 1,2 | 2,8 | 4,3 | 4,7 | 3,1 |
| H _{e107} [m] 21.8.2020 | 99,8945 | 99,7355 | 99,7327 | 99,6513 | 99,9882 | 99,8713 | 99,8454 | 99,9438 |
| H _{e108} -H _{e107} [mm] | -0,2 | -0,4 | -0,1 | 0,0 | -0,4 | 0,0 | 0,0 | 0,0 |
| H _{e108} -H _{e0} [mm] | 0,3 | 0,0 | -0,1 | 1,2 | 2,4 | 4,3 | 4,7 | 3,1 |

Při hodnotách posunů 0,0 - 0,7 mm nebyl měřením prokázán posun

0,7 - 1,4 mm lze posun připustit (ne však prokázat)

1,4 mm < p je posun považován za prokázaný

Tab.1-Sledování svislých posunů v ulici



Obrázek 5: Graf posunů sledovaných bodů v ulici

Na základě zkušeností geodetů firmy Geodrilling s.r.o. s průběhem měření za zhoršených podmínek při práci na stavbě, byla použita pro hodnocení přesnosti směrodatná odchylka měřeného převýšení 0,5 mm. Odtud byla dopočtena směrodatná odchylka měřeného posunu sledovaných bodů na 0,7 mm. Posun bodu za těchto podmínek je možno pokládat za prokázaný při překročení hodnoty 1,4 mm od

0. etapy pozorování.

V první fázi sledování svislých posunů, od června zhruba do poloviny listopadu 2018 jeví tendenci k poklesu od -0,5 do -1,0 mm pozorované body č. 104 a 105, osazené okolo dilatační spáry mezi domy č.o. 4 a 6, které se nacházejí přímo naproti rekonstruované budovy. Přibližně od druhé poloviny února 2019 do začátku července 2019, jeví naopak tendenci ke zdvihu oscilujícímu kolem cca +1,0 mm pozorovaný bod č.106, nacházející se na domě č.o. 4, ale poblíž dilatační spáry s domem č.o.2 (Obrázek 2). Do konce hodnoceného období, tj. do 21.8.2020 se vůči základní etapě na pozorovaných bodech č. 103, 104 a 105 nedají prokázat žádné změny a body je v zásadě možno pokládat za stabilní, u pozorovaného bodu č.106 se zdvih kolem 1 mm projevuje po celou dobu opakováně a i když nepřekračuje stanovenou mezní odchylku posunu mezi 2 etapami měření, lze ji považovat za ověřenou.

Po rozšíření sledování na chování fasádní stěny havarované budovy, osazením pozorovaných bodů č.107 až 110, a to dne 9.9.2019, kdy byla zaměřena základní (nultá) etapa, došlo nejprve krátce k mírnému poklesu, i když v rámci přesnosti měření. Po měsíci byl prokazatelně naměřen zdvih pozorovaných bodů č.107 a 108 a po dalších 11 dnech i u pozorovaných bodů č.109 a 110 (okolo +2 mm). Od té doby až do konce hodnocení byl prokazatelný zdvih naměřen u všech uvedených pozorovaných bodů, a to kolem +4,5 mm u bodů 108 a 109 a cca +2,5 mm u bodů č. 107 a 110. Pozorované body č. 107 a 108 jsou osazeny na havarované budově, zatímco body č. 107 a 110 jsou stabilizovány na sousedních objektech za dilatační spárou.

Zdvih fasádní stěny si lze vysvětlit průběhem zajišťovacích prací v době, kdy byla odstraněna převážná vnitřní část havarované budovy a pro uchování sledované fasádní stěny v původním stavu ji bylo nutno podepřít podpůrnou ocelovou konstrukcí. Lze předpokládat i betonové injektáže podloží pod touto stěnou, zamezující jejímu poklesu a způsobující naopak zdvih, který se projevil větší měrou u samotné stěny a měnší měrou u sousedních objektů. Popsaný průběh chování sledovaného objektu a jeho nejbližšího okolí názorně potvrzuje grafické zobrazení (Obrázek 5).

4.2 Svislé posuny vnitřních prostor havarované budovy

Po havárii rekonstruované budovy byly podle požadavků statika osazeny další pozorované body uvnitř staveniště k ověření průběhu realizovaných zásahů pro postupné stabilizování zachovalých částí budovy, odstranění částí staticky neúnosných a dostavbu částí nově projektovaných. K tomuto účelu byly osazeny pozorované body č. 9001 až 9003 a 9008 až 9013 (bod 9013 v pozdějších etapách sloužil jako náhrada bodu 9011) stejnými čepovými nivelačními značkami, jako body v Mikulandské ulici. Pozorované body č. 9004 až 9007 zvolené na střeše podzemních garáží byly stabilizovány nastřelovacími hřebými. Pro určení jejich výšek v lokálním výškovém systému, vztaženém opět k výchozímu bodu č.100 a jejich svislých posunů, byl veden druhý nivelační pořad přes zmíněné pozorované body, s uzávěrem opět na výchozí bod č. 100. Pozorované body č.9001 až 9007 jsou osazeny v jakémusi řezu v západní stěně objektu, body 9008 až 9012, po doplnění 9013 se nachází na jižní straně.

Výsledné výšky u výše uvedných pozorovaných bodů a jejich změny (svislé posuny), během zaměření 82 etap od 23.11.2018 do 19.6.2020 jsou vypočteny v programu LEICA Geo Office a uvedeny v následující tabulce č.2 a zobrazeny v grafu (Obrázek 6).

Výsledky sledování výškových kontrolních bodů - dvůr Mikulandská

Souřadnicový systém: místní
Výškový systém: místní

Výsledky sledování výškových kontrolních bodů - dvůr Mikulandská

Souořadnicový systém: místní
Výškový systém: místní

Výsledky sledování výškových kontrolních bodů - dvůr Mikulandská

Souřadnicový systém: místní
Výškový systém: místní

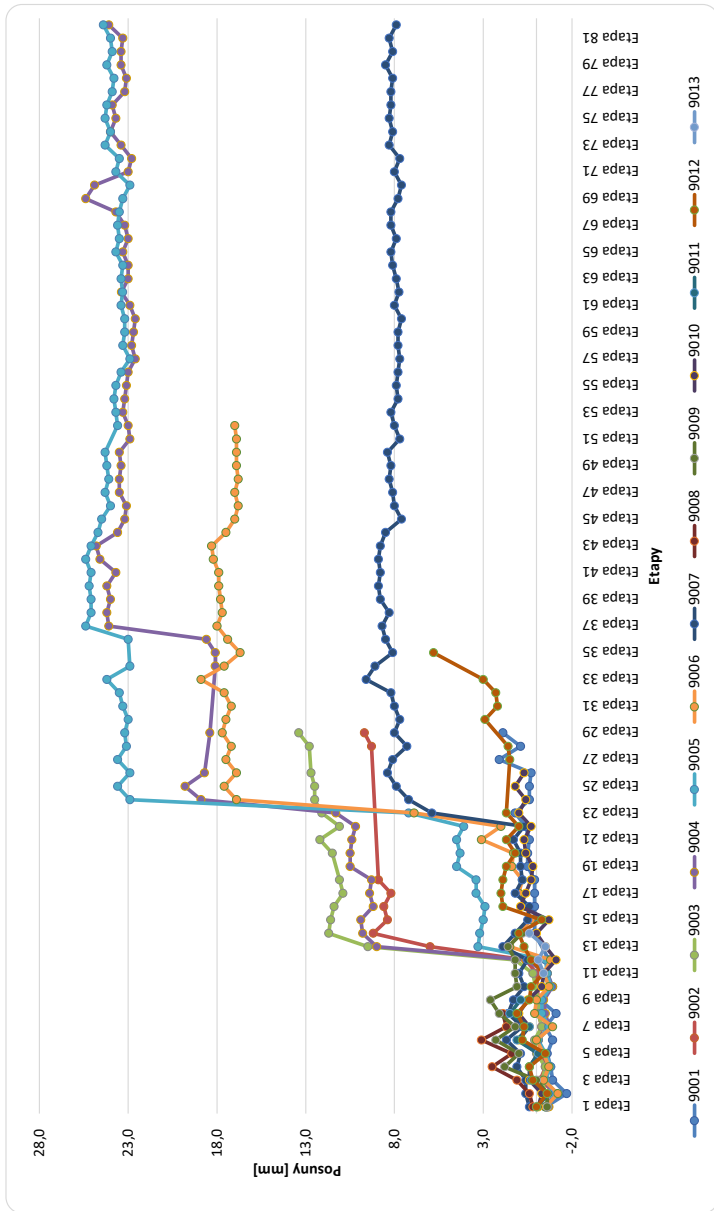
Výsledky sledování výškových kontrolních bodů - dvůr Mikulandská

Souořadnicový systém: místní
Výškový systém: místní

Výsledky sledování výškových kontrolních bodů - dvůr Mikulandská

Souořadnicový systém: místní
Výškový systém: místní

| č. bodu | datum měření | 9001 | | 9002 | | 9003 | | 9004 | | 9005 | | 9006 | | 9007 | | 9008 | | 9009 | | 9010 | | 9011 | | 9012 | | 9013 | | | |
|------------|-------------------|-------------|---------|-------------|---------|-------------|---------|---------|---------|---------|---------|---------|---------|---------|---------|-------------|---------|-------------|---------|-------------|---------|-------------|---------|-------------|---------|------------|---------|------|--|
| | | Z [m] | ΔZ [mm] | Z [m] | ΔZ [mm] | Z [m] | ΔZ [mm] | Z [m] | ΔZ [mm] | Z [m] | ΔZ [mm] | Z [m] | ΔZ [mm] | Z [m] | ΔZ [mm] | Z [m] | ΔZ [mm] | Z [m] | ΔZ [mm] | Z [m] | ΔZ [mm] | Z [m] | ΔZ [mm] | Z [m] | ΔZ [mm] | Z [m] | ΔZ [mm] | | |
| 23.11.2018 | [1] | 100,2379 | | 100,5083 | | 100,4593 | | 99,2836 | | 99,3031 | | 99,2666 | | 99,3129 | | 99,9504 | | 100,0446 | | 100,1537 | | 100,1669 | | 99,9107 | | 102 | | | |
| 22.01.2020 | [122] | Nelze měřit | | Nelze měřit | | Nelze měřit | | 22,9 | | 23,4 | | 23,055 | | 23,209 | | Nelze měřit | | Nelze měřit | | Nelze měřit | | Nelze měřit | | Bod zničen | | 2 [m] | | | |
| 30.01.2020 | [123]=([122]+[1]) | Nelze měřit | | Nelze měřit | | Nelze měřit | | 99,3070 | | 99,3264 | | 99,3206 | | 99,3206 | | Nelze měřit | | Nelze měřit | | Nelze měřit | | Nelze měřit | | Bod zničen | | 0,4 | | | |
| 04.02.2020 | [124]=([123]+[1]) | Nelze měřit | | Nelze měřit | | Nelze měřit | | 23,4 | | 23,3 | | 99,3066 | | 99,3265 | | 99,3208 | | Nelze měřit | | Nelze měřit | | Nelze měřit | | Bod zničen | | 0,6 | | | |
| 14.02.2020 | [125]=([124]+[1]) | Nelze měřit | | Nelze měřit | | Nelze měřit | | 23,0 | | 23,4 | | 99,3066 | | 99,3264 | | 99,3210 | | Nelze měřit | | Nelze měřit | | Nelze měřit | | Bod zničen | | 0,4 | | | |
| 18.02.2020 | [126]=([125]+[1]) | Nelze měřit | | Nelze měřit | | Nelze měřit | | 23,0 | | 23,3 | | 99,3059 | | 99,3268 | | 99,3211 | | 99,3211 | | Nelze měřit | | Nelze měřit | | Nelze měřit | | Bod zničen | | 0,5 | |
| 26.02.2020 | [127]=([126]+[1]) | Nelze měřit | | Nelze měřit | | Nelze měřit | | 23,0 | | 23,4 | | 99,3066 | | 99,3266 | | 99,3208 | | 99,3208 | | Nelze měřit | | Nelze měřit | | Nelze měřit | | Bod zničen | | 0,6 | |
| 06.03.2020 | [128]=([127]+[1]) | Nelze měřit | | Nelze měřit | | Nelze měřit | | 23,0 | | 23,3 | | 99,3068 | | 99,3267 | | 99,3211 | | 99,3211 | | Nelze měřit | | Nelze měřit | | Nelze měřit | | Bod zničen | | 0,5 | |
| 13.03.2020 | [129]=([128]+[1]) | Nelze měřit | | Nelze měřit | | Nelze měřit | | 23,0 | | 23,3 | | 99,3073 | | 99,3266 | | 99,3211 | | 99,3211 | | Nelze měřit | | Nelze měřit | | Nelze měřit | | Bod zničen | | 0,6 | |
| 19.03.2020 | [130]=([129]+[1]) | Nelze měřit | | Nelze měřit | | Nelze měřit | | 23,0 | | 23,4 | | 99,3067 | | 99,3267 | | 99,3208 | | 99,3208 | | Nelze měřit | | Nelze měřit | | Nelze měřit | | Bod zničen | | 0,5 | |
| 25.03.2020 | [131]=([130]+[1]) | Nelze měřit | | Nelze měřit | | Nelze měřit | | 23,0 | | 23,3 | | 99,3055 | | 99,3260 | | 99,3205 | | 99,3205 | | Nelze měřit | | Nelze měřit | | Nelze měřit | | Bod zničen | | 0,5 | |
| 30.03.2020 | [132]=([131]+[1]) | Nelze měřit | | Nelze měřit | | Nelze měřit | | 23,0 | | 23,4 | | 99,3066 | | 99,3264 | | 99,3207 | | 99,3207 | | Nelze měřit | | Nelze měřit | | Nelze měřit | | Bod zničen | | 0,6 | |
| 09.04.2020 | [133]=([132]+[1]) | Nelze měřit | | Nelze měřit | | Nelze měřit | | 23,0 | | 23,5 | | 99,3054 | | 99,3254 | | 99,3206 | | 99,3206 | | Nelze měřit | | Nelze měřit | | Nelze měřit | | Bod zničen | | -0,2 | |
| 16.04.2020 | [134]=([133]+[1]) | Nelze měřit | | Nelze měřit | | Nelze měřit | | 23,0 | | 23,6 | | 99,3057 | | 99,3257 | | 99,3207 | | 99,3207 | | Nelze měřit | | Nelze měřit | | Nelze měřit | | Bod zničen | | 0,3 | |
| 23.04.2020 | [135]=([134]+[1]) | Nelze měřit | | Nelze měřit | | Nelze měřit | | 23,0 | | 23,7 | | 99,3059 | | 99,3259 | | 99,3208 | | 99,3208 | | Nelze měřit | | Nelze měřit | | Nelze měřit | | Bod zničen | | 0,3 | |



Obrázek 6: Graf posunů sledovaných bodů ve dvore

Po 2 týdnech od zahájení měření lehce překročily hranici prokazatelnosti svislých posunů pozorované body osazené na jižní straně objektu, kromě bodu 9010. Tento stav prakticky trval až do znepřístupnění či zničení těchto bodů, tedy nejpozději do července 2019. Jednalo se o zdvih kolem +2 mm.

Etapa realizovaná dne 15.2.2019 vykazuje jednoznačně prokazatelný zdvih pozorovaných bodů na západní straně v hodnotách od cca +1,5 mm na JZ rohu až do +9,5 mm uprostřed řezu. To odpovídá intenzivní stavební činnosti, resp. provádění injektáže podloží v této době. K dalšímu výraznému zdvihu u pozorovaných bodů č. 9004 až 9006, a to zhruba na +20 mm vzhledem k základní etapě došlo začátkem července 2019, u bodu č. 9004 až koncem července téhož

roku. Poté se svislé posuny ustálily na hodnotách kolem +24 mm. Pozorovaný bod č. 9007 na JZ rohu vykázal zdvih na cca +6 mm, jako jeden z mála zůstal přístupný měření a jeho zdih se ustálil na hodnotě kolem +8 mm. Toto hodnocení odpovídá grafickému zobrazení (Obrázek 6).

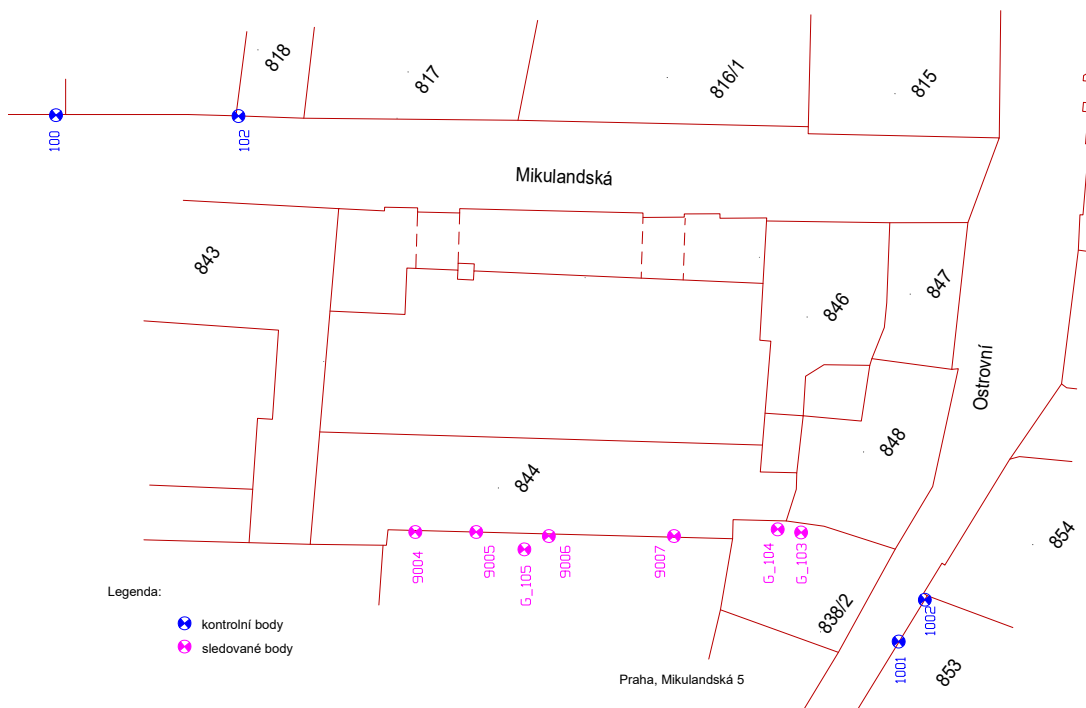
4.3 Svislé posuny garáží

Dalším sledovaným objektem, nacházejícím se v těsné blízkosti havarované budovy jsou podzemní garáže, jejichž stabilita byla ohrožena stavební činností při odklízecích, zajišťovacích a stavebních pracích. Proto byly osazeny uvnitř podzemních garáží pozorované body G_103 až G_105 a v Ostrovní ulici na domu č.o. 24 další pozorované body č.1001 a 1002 (Obrázek 7), a to čepovými nivelačními značkami. Jako vztažný (výchozí bod) byl zvolen nivelační bod ČSNS č. Bi-192 o nadmořské výšce 195,229 m ve výškovém systému Bpv. Pozorované body byly propojeny uzavřeným nivelačním pořadem vedeným podzemním prostorem garáží a byl vztahován k nivelační značce Bi-192.

Výsledné výšky výše uvedených pozorovaných bodů a jejich změny (svislé posuny), během zaměření 53 etap od 28.11.2018 do 19.6.2020 jsou vypočteny v programu LEICA Geo Office a uvedeny v následující tabulce č.3 a zobrazeny v grafu (Obrázek 8).

Příloha č.1

Rozmístění nivelačních značek v prostoru staveniště



Obrázek 7: Přehledka bodů

Výsledky sledování výškových kontrolních bodů

Garáže v ulici Ostrovní na pozemku p.č. 838/2

Výškový systém: Bpv

Výchozí bod

BI-192 Nadmořská výška 195,229m

| č. bodu datum měření | Etapa | | 1 | 2 | 103 | 104 | 105 |
|-------------------------|-------|---------------|----------------|----------------|----------------|----------------|----------------|
| | | z [m] | z [m] | z [m] | z [m] | z [m] | z [m] |
| | | ΔZ [mm] | ΔZ [mm] | ΔZ [mm] | ΔZ [mm] | ΔZ [mm] | ΔZ [mm] |
| 28.11.2018 | 0 | [1] | 194,8778 | 195,1104 | 191,8176 | 191,8050 | 191,8235 |
| 01.02.2019 | 1 | [3] | 194,8781 | 195,1108 | 191,8185 | 191,8041 | 191,8233 |
| | | [4]=[3]-[1] | 0,3 | 0,4 | 0,9 | -0,9 | -0,2 |
| 08.02.2019 | 2 | [5] | 194,8773 | 195,1099 | 191,8179 | 191,8038 | 191,8232 |
| | | [6]=[5]-[1] | -0,5 | -0,5 | 0,3 | -1,2 | -0,3 |
| 15.02.2019 | 3 | [7] | 194,8773 | 195,1108 | 191,8188 | 191,8050 | 191,8256 |
| | | [8]=[7]-[1] | -0,5 | 0,4 | 1,2 | 0,0 | 2,1 |
| 20.02.2019 | 4 | [9] | 194,8787 | 195,1107 | 191,8189 | 191,8051 | 191,8266 |
| | | [10]=[9]-[1] | 0,9 | 0,3 | 1,3 | 0,1 | 3,1 |
| 25.02.2019 | 5 | [11] | 194,8780 | 195,1110 | 191,8185 | 191,8045 | 191,8261 |
| | | [12]=[11]-[1] | 0,2 | 0,6 | 0,9 | -0,5 | 2,6 |
| 08.03.2019 | 6 | [13] | 194,8782 | 195,1110 | 191,8182 | 191,8035 | 191,8257 |
| | | [14]=[13]-[1] | 0,4 | 0,6 | 0,6 | -1,5 | 2,2 |
| 15.03.2019 | 7 | [15] | 194,8775 | 195,1102 | 191,8176 | 191,8033 | 191,8254 |
| | | [16]=[15]-[1] | -0,3 | -0,2 | 0,0 | -1,7 | 1,9 |
| 22.03.2019 | 8 | [17] | 194,8772 | 195,1098 | 191,8180 | 191,8033 | 191,8255 |
| | | [18]=[17]-[1] | -0,6 | -0,6 | 0,4 | -1,7 | 2,0 |
| 12.04.2019 | 9 | [19] | 194,8787 | 195,1107 | 191,8185 | 191,8042 | 191,8269 |
| | | [20]=[19]-[1] | 0,9 | 0,3 | 0,9 | -0,8 | 3,4 |
| 15.04.2019 | 10 | [21] | 194,8780 | 195,1107 | 191,8182 | 191,8044 | 191,8266 |
| | | [22]=[21]-[1] | 0,2 | 0,3 | 0,6 | -0,6 | 3,1 |
| 26.04.2019 | 11 | [23] | 194,8772 | 195,1100 | 191,8188 | 191,8075 | 191,8301 |
| | | [24]=[23]-[1] | -0,6 | -0,4 | 1,2 | 2,5 | 6,6 |
| 03.05.2019 | 12 | [25] | 194,8775 | 195,1106 | 191,8191 | 191,8095 | 191,8467 |
| | | [26]=[25]-[1] | -0,3 | 0,2 | 1,5 | 4,5 | 23,2 |
| 06.05.2019 | 13 | [27] | 194,8774 | 195,1107 | 191,8199 | 191,8096 | 191,8473 |
| | | [28]=[27]-[1] | -0,4 | 0,3 | 2,3 | 4,6 | 23,8 |
| 13.05.2019 | 14 | [29] | 194,8783 | 195,1108 | 191,8200 | 191,8101 | 191,8476 |
| | | [30]=[29]-[1] | 0,5 | 0,4 | 2,4 | 5,1 | 24,1 |
| 22.05.2019 | 15 | [31] | 194,8779 | 195,1106 | 191,8198 | 191,8093 | 191,8472 |
| | | [32]=[30]-[1] | 0,1 | 0,2 | 2,2 | 4,3 | 23,7 |
| 28.05.2019 | 16 | [33] | 194,8779 | 195,1103 | 191,8195 | 191,8090 | 191,8468 |
| | | [34]=[33]-[1] | 0,1 | -0,1 | 1,9 | 4,0 | 23,3 |
| 04.06.2019 | 17 | [35] | 194,8780 | 195,1105 | 191,8201 | 191,8094 | 191,8478 |
| | | [36]=[35]-[1] | 0,2 | 0,1 | 2,5 | 4,4 | 24,3 |
| 14.06.2019 | 18 | [37] | bod nedostupný | bod nedostupný | 191,8219 | 191,8098 | 191,8474 |
| | | [38]=[37]-[1] | | | 4,3 | 4,8 | 23,9 |
| 20.06.2019 | 19 | [39] | 194,8776 | 195,1104 | 191,8211 | 191,8095 | 191,8476 |
| | | [40]=[39]-[1] | -0,2 | 0,0 | 3,5 | 4,5 | 24,1 |
| 26.06.2019 | 20 | [41] | 194,8781 | 195,1105 | 191,8217 | 191,8096 | 191,8476 |
| | | [42]=[41]-[1] | 0,3 | 0,1 | 4,1 | 4,6 | 24,1 |
| 03.07.2019 | 21 | [43] | bod nedostupný |
| | | [44]=[43]-[1] | | | | | |
| 08.07.2019 | 22 | [45] | bod nedostupný |
| | | [46]=[45]-[1] | | | | | |

| 18.07.2019 | 23 | [47] | bod nedostupný |
|------------|----|----------------|----------------|----------------|----------------|----------------|----------------|
| | | [48]=[47]-[1] | | | | | |
| 23.07.2019 | 24 | [49] | bod nedostupný |
| | | [50]=[49]-[1] | | | | | |
| 31.07.2019 | 25 | [51] | 194,8782 | 195,1107 | 191,8225 | 191,8110 | 191,8494 |
| | | [52]=[51]-[1] | 0,4 | 0,3 | 4,9 | 6,0 | 25,9 |
| 09.08.2019 | 26 | [53] | 194,8776 | 195,1101 | 191,8213 | 191,8106 | 191,8480 |
| | | [54]=[53]-[1] | -0,2 | -0,3 | 3,7 | 5,6 | 24,5 |
| 16.08.2019 | 27 | [55] | 194,8780 | 195,1110 | 191,8218 | 191,8110 | 191,8483 |
| | | [56]=[55]-[1] | 0,2 | 0,6 | 4,2 | 6,0 | 24,8 |
| 21.08.2019 | 28 | [57] | 194,8783 | 195,1106 | 191,8217 | 191,8104 | 191,8485 |
| | | [58]=[57]-[1] | 0,5 | 0,2 | 4,1 | 5,4 | 25,0 |
| 28.08.2019 | 29 | [59] | 194,8786 | 195,1108 | 191,8218 | 191,8106 | 191,8487 |
| | | [60]=[59]-[1] | 0,8 | 0,4 | 4,2 | 5,6 | 25,2 |
| 02.09.2019 | 30 | [61] | 194,8783 | 195,1107 | 191,8217 | 191,8104 | 191,8485 |
| | | [62]=[61]-[1] | 0,5 | 0,3 | 4,1 | 5,4 | 25,0 |
| 09.09.2019 | 31 | [63] | 194,8785 | 195,1108 | 191,8219 | 191,8105 | 191,8487 |
| | | [64]=[63]-[1] | 0,7 | 0,4 | 4,3 | 5,5 | 25,2 |
| 13.09.2019 | 32 | [65] | 194,8773 | 195,1097 | 191,8207 | 191,8097 | 191,8475 |
| | | [66]=[65]-[1] | -0,5 | -0,7 | 3,1 | 4,7 | 24,0 |
| 17.09.2019 | 33 | [67] | 194,8779 | 195,1104 | 191,8216 | 191,8107 | 191,8483 |
| | | [68]=[67]-[1] | 0,1 | 0,0 | 4,0 | 5,7 | 24,8 |
| 27.09.2019 | 34 | [69] | 194,8783 | 195,1109 | 191,8218 | 191,8111 | 191,8486 |
| | | [70]=[69]-[1] | 0,5 | 0,5 | 4,2 | 6,1 | 25,1 |
| 04.10.2019 | 35 | [71] | 194,8783 | 195,1108 | 191,8211 | 191,8105 | 191,8479 |
| | | [72]=[71]-[1] | 0,5 | 0,3 | 3,5 | 5,5 | 24,4 |
| 11.10.2019 | 36 | [73] | 194,8778 | 195,1102 | 191,8207 | 191,8103 | 191,8474 |
| | | [74]=[73]-[1] | 0,0 | -0,2 | 3,1 | 5,3 | 23,9 |
| 18.10.2019 | 37 | [75] | 194,8780 | 195,1103 | 191,8209 | 191,8105 | 191,8478 |
| | | [76]=[75]-[1] | 0,2 | -0,1 | 3,3 | 5,5 | 24,3 |
| 22.10.2019 | 38 | [77] | 194,8779 | 195,1104 | 191,8212 | 191,8109 | 191,8478 |
| | | [78]=[77]-[1] | 0,1 | 0,0 | 3,6 | 5,9 | 24,3 |
| 01.11.2019 | 39 | [79] | 194,8779 | 195,1104 | 191,8208 | 191,8104 | 191,8474 |
| | | [80]=[79]-[1] | 0,1 | 0,0 | 3,2 | 5,4 | 23,9 |
| 07.11.2019 | 40 | [81] | 194,8778 | 195,1103 | 191,8209 | 191,8105 | 191,8474 |
| | | [82]=[81]-[1] | 0,0 | -0,1 | 3,3 | 5,5 | 23,9 |
| 15.11.2019 | 41 | [83] | 194,8785 | 195,1110 | 191,8214 | 191,8114 | 191,8478 |
| | | [84]=[83]-[1] | 0,7 | 0,6 | 3,8 | 6,4 | 24,3 |
| 22.11.2019 | 42 | [85] | 194,8786 | 195,1110 | 191,8218 | 191,8114 | 191,8483 |
| | | [86]=[85]-[1] | 0,8 | 0,6 | 4,2 | 6,4 | 24,8 |
| 27.11.2019 | 43 | [87] | 194,8785 | 195,1109 | 191,8216 | 191,8116 | 191,8481 |
| | | [88]=[87]-[1] | 0,7 | 0,5 | 4,0 | 6,6 | 24,6 |
| 06.12.2019 | 44 | [89] | 194,8783 | 195,1107 | 191,8211 | 191,8114 | 191,8475 |
| | | [90]=[89]-[1] | 0,5 | 0,3 | 3,5 | 6,4 | 24,0 |
| 11.12.2019 | 45 | [91] | 194,8784 | 195,1107 | 191,8214 | 191,8116 | 191,8478 |
| | | [92]=[91]-[1] | 0,6 | 0,3 | 3,8 | 6,6 | 24,3 |
| 17.12.2019 | 46 | [93] | 194,8789 | 195,1114 | 191,8216 | 191,8111 | 191,8482 |
| | | [94]=[93]-[1] | 1,1 | 1,0 | 4,0 | 6,1 | 24,7 |
| 08.01.2020 | 47 | [95] | 194,8783 | 195,1107 | bod nedostupný | bod nedostupný | bod nedostupný |
| | | [96]=[95]-[1] | 0,5 | 0,3 | | | |
| 15.01.2020 | 48 | [97] | bod nedostupný |
| | | [98]=[97]-[1] | | | | | |
| 22.01.2020 | 49 | [99] | 194,8781 | 195,1105 | 191,8208 | 191,8109 | 191,8470 |
| | | [100]=[99]-[1] | 0,2 | 0,1 | 3,2 | 5,9 | 23,5 |

| | | | | | | | |
|------------|-----------|--------------------------|------------------|------------------|-----------------|-----------------|------------------|
| 18.02.2020 | 50 | [101] [102]=[101]-[1] | 194,8785 0,7 | 195,1110 0,6 | 191,8217 4,1 | 191,8115 6,5 | 191,8479 24,4 |
| 30.03.2020 | 51 | [103] [104]=[103]-[1] | 194,8786 0,8 | 195,1110 0,6 | 191,8216 4,0 | 191,8116 6,6 | 191,8479 24,4 |
| 28.04.2020 | 52 | [105] [106]=[105]-[1] | 194,8783 0,5 | 195,1108 0,4 | 191,8216 4,0 | 191,8109 5,9 | 191,8480 24,5 |
| 19.06.2020 | 53 | [107] [108]=[107]-[1] | 194,8771 -0,7 | 195,1100 -0,4 | 191,8220 4,4 | 191,8110 6,0 | 191,8480 24,5 |

CCE Praha spol. s r.o.

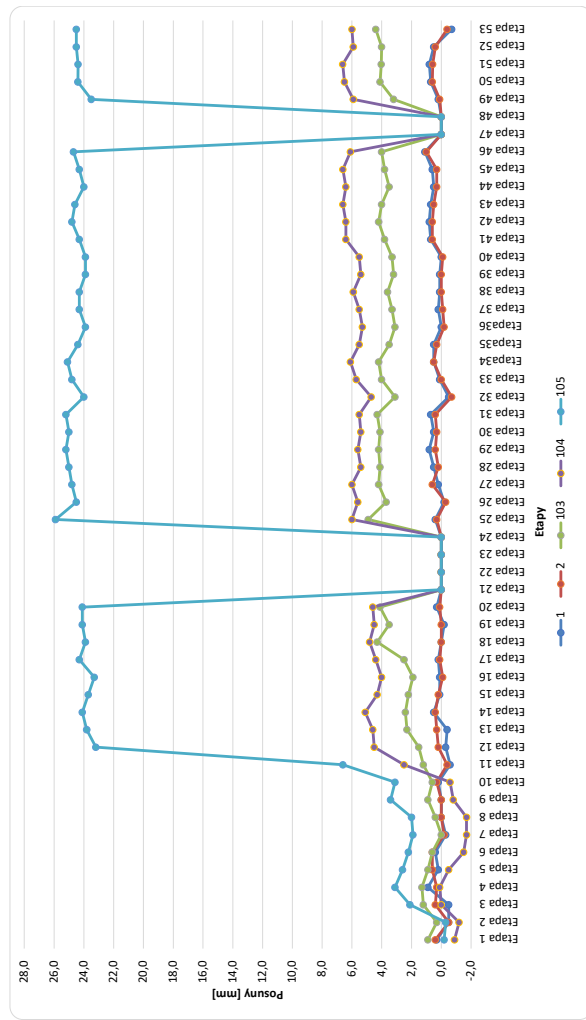
Pozn.: Výšky bodů v 0.etapě byly převzaty

Při hodnotách posunů 0,0 - 0,7 mm nebyl měřením prokázán posun

0,7 - 1,4 mm lze posun připustit (ne však prokázat)

1,4 mm < p je posun považován za prokázaný

Tab. 3 - sledování svislých posunů v garáži



Obrázek 8: Graf posunů sledovaných bodů v garáži

Svislé posuny pozorovaných bodů č.1001 a 1002 jsou neprokazatelné a je možno je pokládat za stabilní. Pozorované body č.G_103 a G_104 jsou osazeny ve vjezdu do garáží a do 10. etapy v dubnu 2019 vykazují lehký zdvih, respektive pokles, ovšem od této etapy dochází k evidentně prokázanému zdvihu okolo +2 mm, a to především u bodu č. G_104. Od července 2019 se zdvih těchto bodů prakticky ustálil na hodnotě +4 mm, resp. +6 mm. Svislý posun pozorovaného bodu č. G_105, který se nachází uvnitř podzemních garáží, došlo k prokazatelnému zdvihu kolem +2,5 mm již od února 2019. Začátkem května 2019 došlo ke značnému zdvihu, a to na +23 až 25 mm. Tento posun odpovídá posunu určenému na odpovídajících bodech č. 9004 až 9006, umístěných na střeše garáží. Příčinou zdvihu celého objektu garáží byla injektáž podloží, která byla nutná z důvodu zajištění stability povrchu na stavbě.

Závěr

Cílem této práce bylo popsat a zhodnotit metody použité pro monitoring svislých posunů a přetvoření jednotlivých sledovaných částí havarované budovy VŠ UM-PRUM společně s použitými přístroji, volbou vztažných a pozorovaných bodů, vyhodnocením vypočtených posunů a stanovením chování jednotlivých částí hodnocené budovy, vzhledem k základní etapě měření.

Z hodnocených výsledků všech 3 samostatně sledovaných částí vyplývá vhodnost volby vztažných výškových bodů, které bylo možno pokládat po celou dobu hodnoceného časového úseku za stabilní. Svislé posuny pozorovaných bodů jak na havarovaném objektu, tak i na sousedních objektech umožnily objektivní hodnocení jejich chování s ohledem na postup stavebních činností při odklízecích, zajišťovacích a stavebních pracích.

Výsledky pozorování byly zobrazeny na přehledných grafech, ze kterých bylo možné vyčíst pohyby jednotlivých bodů, jak na stavbě tak i na jejím přilehlém okolí. Díky probíhajícím stavebním pracím body podléhaly v různých etapách měření velikým změnám. Například ve vnitřních prostorách garáží a na jejich povrchu byly jasně znatelné stejnosměrné posuny, které byly přisouzeny injektáži v oblasti garaží. Díku tomu výška celého objektu garáží vzrostla o cca 3 cm. Dále byly stanoveny posuny na sledovaném objektu, který se po napínání a odstranění velké časti začal pohybovat.

Seznam obrázků

| | | |
|---|---------------------------------------|----|
| 1 | Lokalita oblasti [1] | 9 |
| 2 | Schéma nivelačních pořadů | 13 |
| 3 | Stabilizace nivelačních značek | 15 |
| a | Nivelační značka | 15 |
| b | Nivelační značka | 15 |
| c | Nastřelovací hřeb | 15 |
| 4 | Nivelační přístroj+pomůcky [5] | 16 |
| a | Leica DNA03 | 16 |
| b | Invarová lat' | 16 |
| c | nivelační podložka | 16 |
| 5 | Graf posunů sledovaných bodů v ulici | 25 |
| 6 | Graf posunů sledovaných bodů ve dvoře | 34 |
| 7 | Přehledka bodů | 35 |
| 8 | Graf posunů sledovaných bodů v garáži | 39 |

Seznam Tabulek

- 1 Sledování svislých posunů v ulici 18-24
- 2 Sledování svislých posunů ve dvoře 28-33
- 3 Sledování svislých posunů v garáži 36-38

Literatura

- [1] Geopohlízeč. <https://ags.cuzk.cz/geoprohlizec/>.
- [2] Pražská památková rezervace, památka unesco, nové město, mikulandská 5, č.p. 134/ii., praha 1: Dostavba, vestavba a přestavba objektu na inovační technologické a výzkumné vzdělávací centrum vysoké školy umělecko průmyslové. <https://www.npu.cz/>.
- [3] Sylabus 1.-3. přednášky z geodézie 2. <https://k154.fsv.cvut.cz/>.
- [4] Technika leica. <https://leica-geosystems.com/products/>.
- [5] Technika leica 2. <https://www.gefos-leica.cz/e-shop/>.